

Interaktive Computergrafik

Vorlesung im Sommersemester 2014

Kapitel 2: (Echtzeit-)Schattenverfahren

(Teil 3)

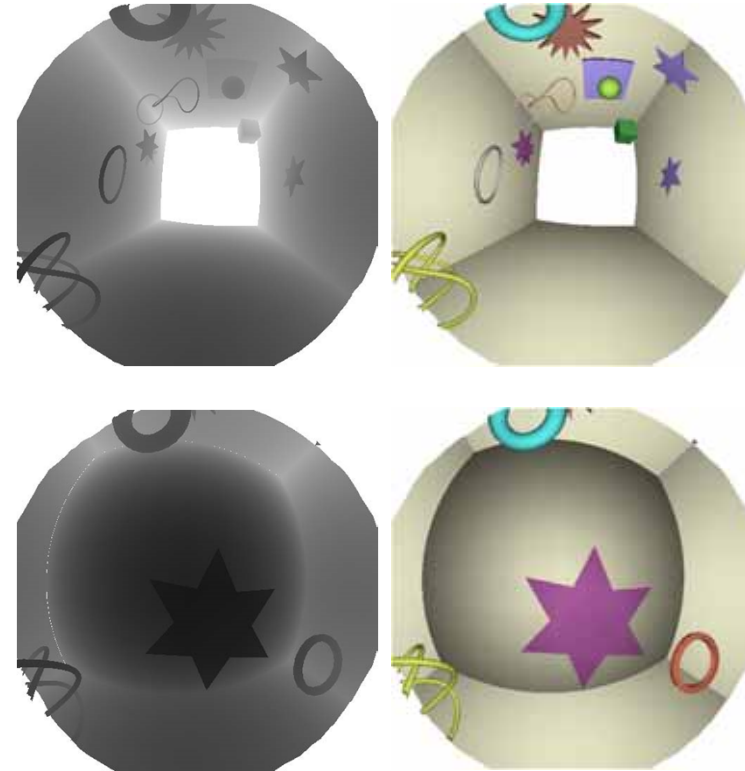
Prof. Dr.-Ing. Carsten Dachsbacher
Lehrstuhl für Computergrafik
Karlsruher Institut für Technologie



Lichtquellen und Shadow Maps

(Omnidirektionale) Punktlichtquellen

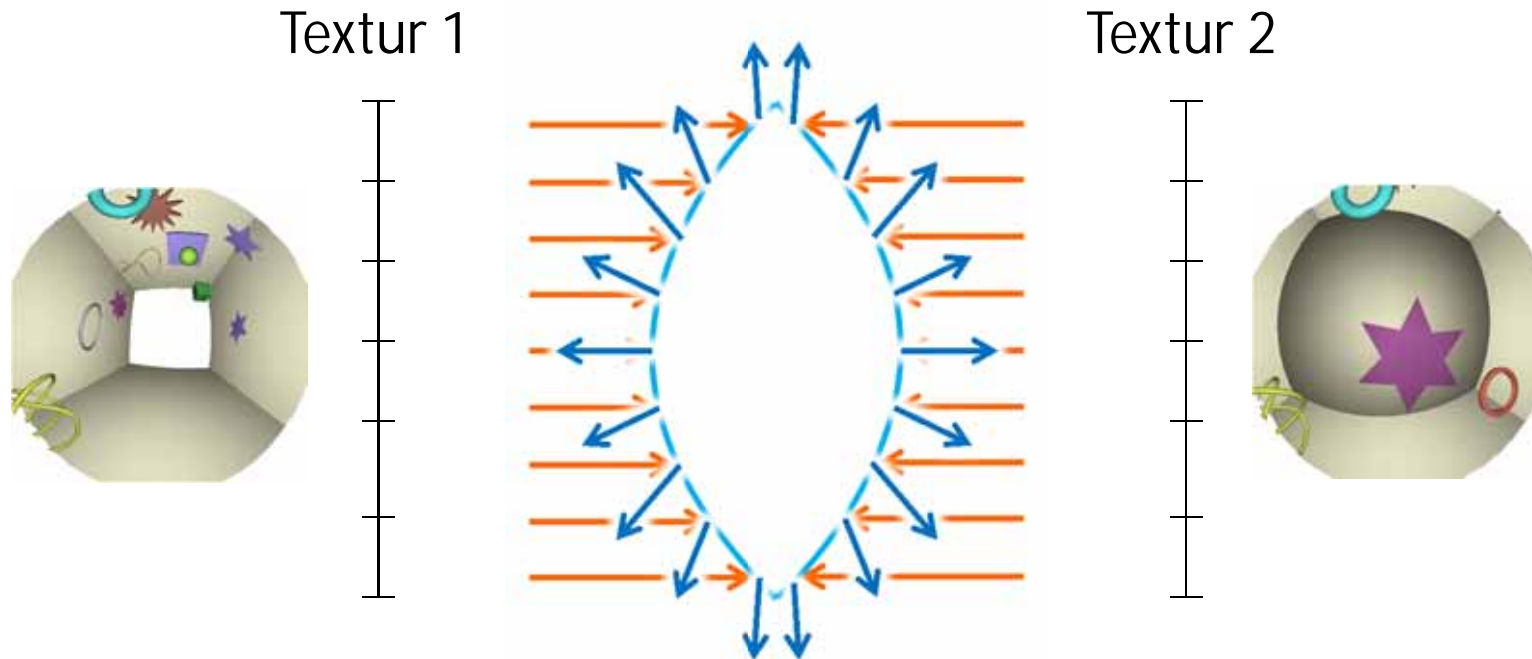
- ▶ Dual-Paraboloid Shadow Maps:
 - ▶ verwende zwei hemisphärische (nicht-lineare) Projektionen
 - ▶ Anm. kann ebenfalls für Environment Mapping verwendet werden



Parabolische Environment/Shadow Maps



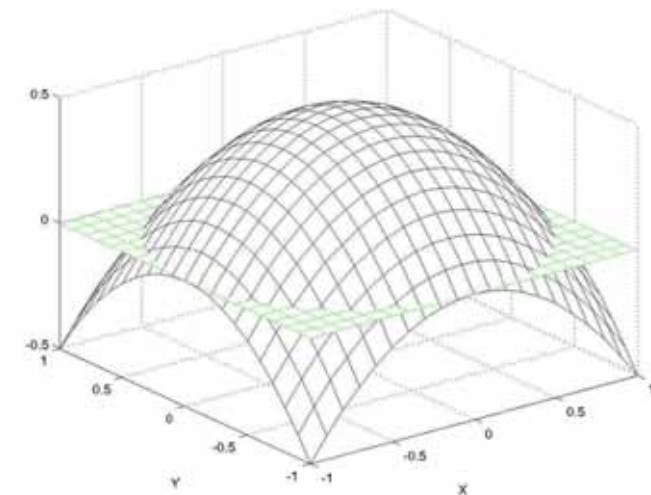
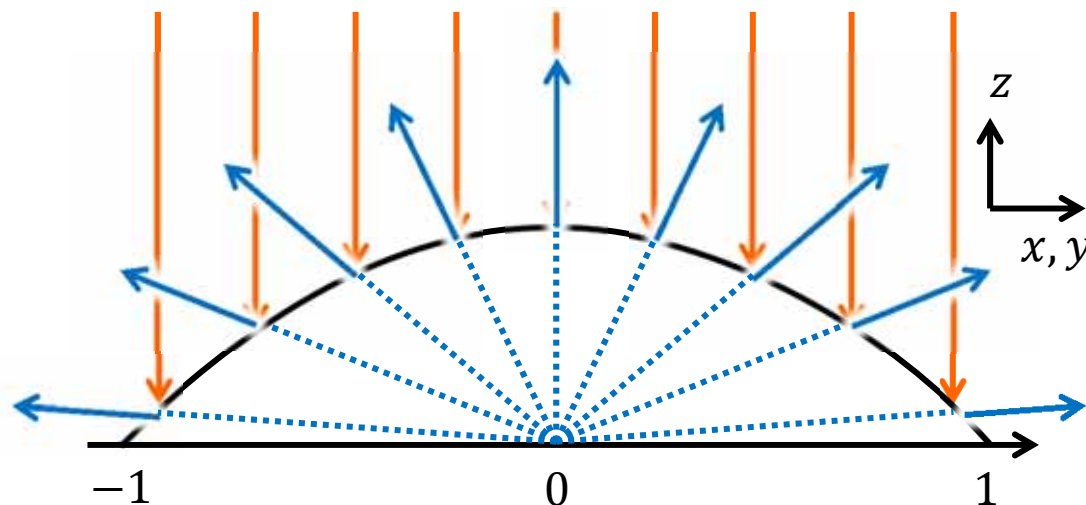
- ▶ erinnern wir uns nochmal an Environment Mapping...
- ▶ ähnlich wie Sphere-Mapping betrachten wir eine Spiegelung an einem virtuellen Objekt, jetzt aber an zwei **Paraboloiden** [Heidrich98]
- ▶ wir stellen uns vor jeden Spiegel mit einer orthogonalen Kamera zu „betrachten“, also mit **parallelen Primärstrahlen**
- ▶ die **Reflexionsstrahlen** decken jeweils eine Hemisphäre ab



Parabolische Environment/Shadow Maps



- ▶ der Paraboloidspiegel wird beschrieben durch $f(x, y) = \frac{1}{2} - \frac{1}{2}(x^2 + y^2)$
- ▶ gemäß dieser Konvention: Einfallrichtung entlang der z-Achse
- ▶ alle folgenden Betrachtungen in diesem Koordinatensystem!
- ▶ die Funktion ist geschickt gewählt: die Reflexionsstrahlen decken die ganze Hemisphäre ab und besitzen den gemeinsamen Ursprung bei (0,0)



Parabolische Environment/Shadow Maps



Berechnung der Normale des Paraboloid

- ▶ als Paraboloidfunktion wird gewählt $f(x, y) = \frac{1}{2} - \frac{1}{2}(x^2 + y^2)$
- ▶ die Fläche des Spiegels ist $P(x, y) = (x, y, f(x, y))^T$
- ▶ Normale (hier $|\mathbf{n}_{xy}| \neq 1$) berechnet über partielle Ableitungen:

$$\frac{\partial P}{\partial x} = \left(1, 0, \frac{\partial f(x, y)}{\partial x} \right)^T = (1, 0, -x)^T$$

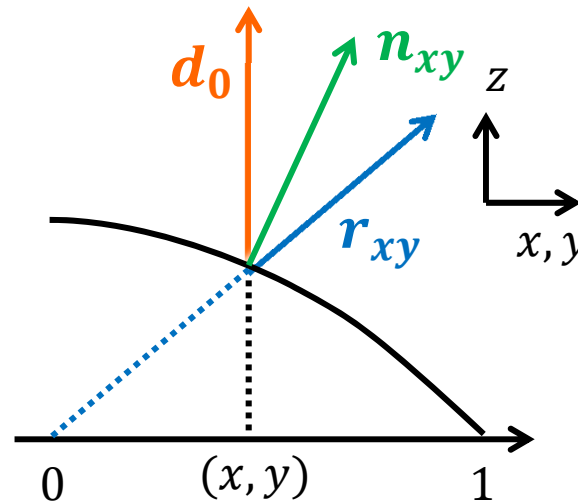
$$\frac{\partial P}{\partial y} = \left(0, 1, \frac{\partial f(x, y)}{\partial y} \right)^T = (0, 1, -y)^T$$

$$\mathbf{n}_{xy} = \frac{\partial P}{\partial x} \times \frac{\partial P}{\partial y} = (x, y, 1)^T$$

Parabolische Environment/Shadow Maps

Zusammenhang zwischen Normale und (Reflexions-)Richtung

- ▶ „gesucht“: Ausfallsrichtung \mathbf{r}_{xy} an der Stelle (x, y)
 - ▶ diese Richtung kennen wir eigentlich schon: $\frac{P(x,y)}{|P(x,y)|}$
 - ▶ Zweck dieser Herleitung: Abbildung von \mathbf{r} auf (x, y)
- ▶ für die Reflexion gilt allgemein: $\mathbf{r}_{xy} = 2\langle \mathbf{n}_{xy}, \mathbf{d}_0 \rangle \mathbf{n}_{xy} - \mathbf{d}_0$
 - ▶ mit der „Aufnahmerichtung“ $\mathbf{d}_0 = (0,0,1)^T$ und
 - ▶ $\mathbf{n}_{xy} = \frac{1}{\sqrt{x^2+y^2+1}} (x, y, 1)^T$



Parabolische Environment/Shadow Maps



Berechnung der Koordinate für eine geg. (Reflexions-)Richtung

- ▶ um festzustellen welcher Koordinate in der Paraboloid-Map eine geg. Richtung \mathbf{r} ($|\mathbf{r}| = 1$) zugewiesen ist nutzt man diesen Zusammenhang:
 - ▶ $\mathbf{r} = 2\langle \mathbf{n}_{xy}, \mathbf{d}_0 \rangle \mathbf{n}_{xy} - \mathbf{d}_0$
 $\Rightarrow \mathbf{r} + \mathbf{d}_0 = 2\langle \mathbf{n}_{xy}, \mathbf{d}_0 \rangle \mathbf{n}_{xy}$
- ▶ wir sehen, was wir eigentlich bereits wissen:
die Normalenrichtung \mathbf{n}_{xy} liegt genau zw. \mathbf{r} und \mathbf{d}_0
 - ▶ d.h. $\mathbf{r} + \mathbf{d}_0$ ist ein k -faches der nicht-normalisierten Normale bei (x, y)
 - ▶ $\mathbf{r} + \mathbf{d}_0 = (r_x, r_y, 1 + r_z) = k(x, y, 1)^T$ mit $k \in \mathbb{R}$
- ▶ wir können die Lösung direkt ablesen:
 - ▶ $k = 1 + r_z$
 - ▶ $\Rightarrow x = \frac{r_x}{1+r_z} \wedge y = \frac{r_y}{1+r_z}$ mit $x, y \in [-1; 1]$
 - ▶ die Texturkoordinaten für den Zugriff erhält man durch Abbildung auf das Intervall $[0; 1]$

Parabolische Environment/Shadow Maps



- ▶ wir können jetzt eine Richtung auf eine Paraboloid-Koordinate abbilden
- ▶ damit ist es möglich eine Paraboloid-Map zu rendern
 - ▶ Vertex-Position in **lokalen** Koordinaten (bzgl. des Paraboloiden) P
 - ▶ Position der Lichtquelle (bzw. „Paraboloid-Kamera“) L
 - ▶ Richtung \mathbf{r} zum Vertex $\mathbf{r} = (P - L)/|P - L|$

- ▶ Vertex-Transformation mit der Matrix
$$\begin{bmatrix} 1 & 0 & 0 & 0 \\ 0 & 1 & 0 & 0 \\ 0 & 0 & 0 & 0 \\ 0 & 0 & 1 & 1 \end{bmatrix} \begin{pmatrix} r_x \\ r_y \\ r_z \\ 1 \end{pmatrix}$$

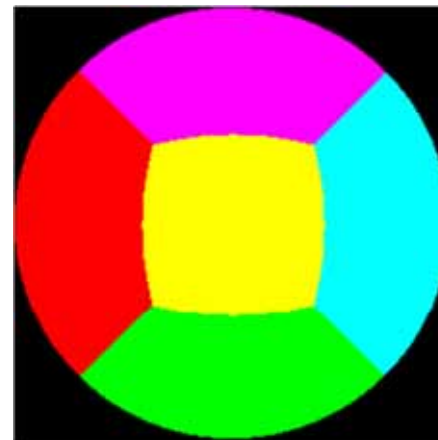
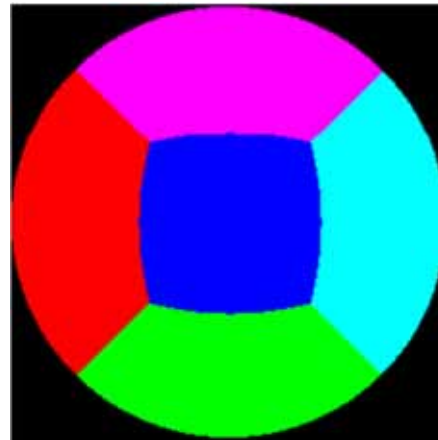
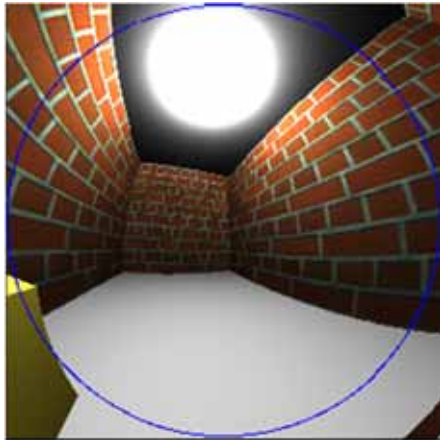
- ▶ zweiter Halbraum: analog

- ▶ Achtung: es handelt sich um eine nicht-lineare Abbildung
 - ▶ Linien werden auf Kurven abgebildet!
 - ▶ Approximationsfehler bei grober Tessellierung
- ▶ Nachschlagen in Paraboloid-Maps mit derselben Berechnung (Fallunterscheidung nach Halbraum)

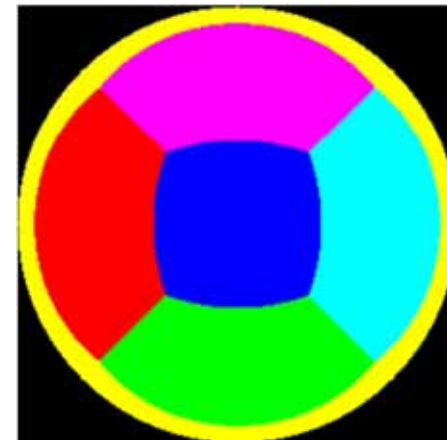
Parabolische Environment/Shadow Maps



- ▶ effektiv genutzter Texturraum $\frac{\pi}{4} < 80\%$



zum Vergleich:
sphärische EnvMap



- ▶ nur 2 Texturen um alle Richtungen abzutasten
- ▶ relativ geringe Verzerrungen

Aliasing und Shadow Mapping



(Zwischen-)Fazit

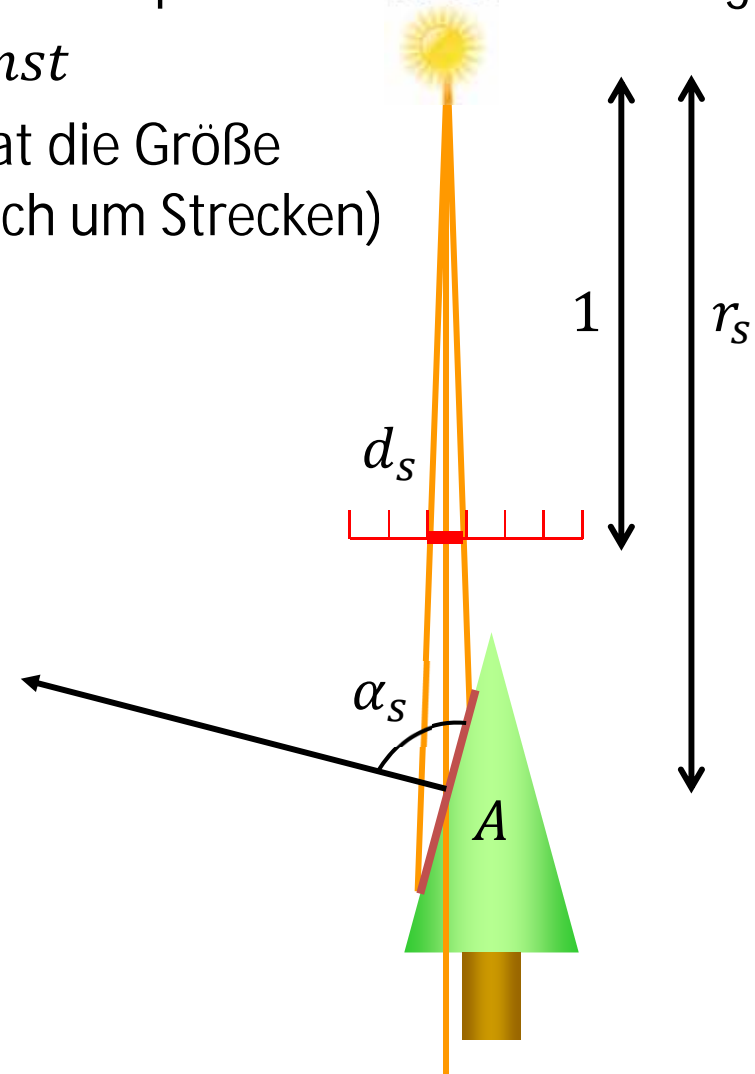
- ▶ jeder Lichtquellentyp erfordert eine bestimmte Projektion/Abbildung
- ▶ Shadow Maps haben eine endliche Auflösung
 - ▶ Aliasing reduzieren wir mit PCF, stochastischem Filter oder VSM
 - ▶ Surface Acne benötigt einen Tiefenoffset (Bias)
 - ▶ es gibt günstige (Miner's Lamp) und ungünstige Konstellationen
 - ▶ kann man Letztere vermeiden? ein Ausblick...

Aliasing und Shadow Mapping



Analyse der beteiligten Größen

- ▶ wir haben gesehen: Aliasing entsteht durch Perspektive und Orientierung
- ▶ Größe eines Shadow Map Texels $d_s = \text{const}$
- ▶ eine durch einen Texel sichtbare Fläche hat die Größe $A \approx d_s \cdot r_s / \cos \alpha_s$ (← in 2D handelt es sich um Strecken)

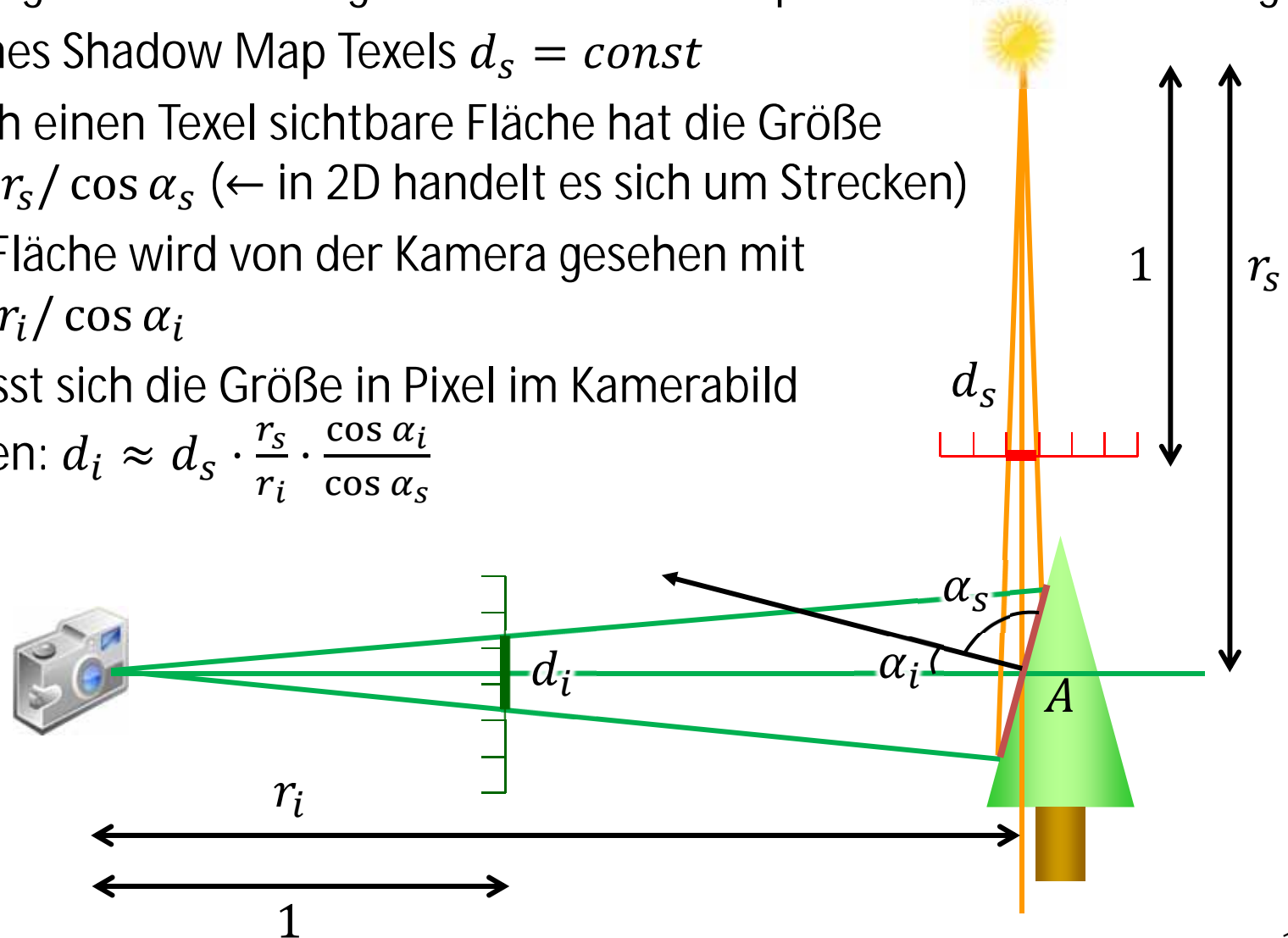


Aliasing und Shadow Mapping



Analyse der beteiligten Größen

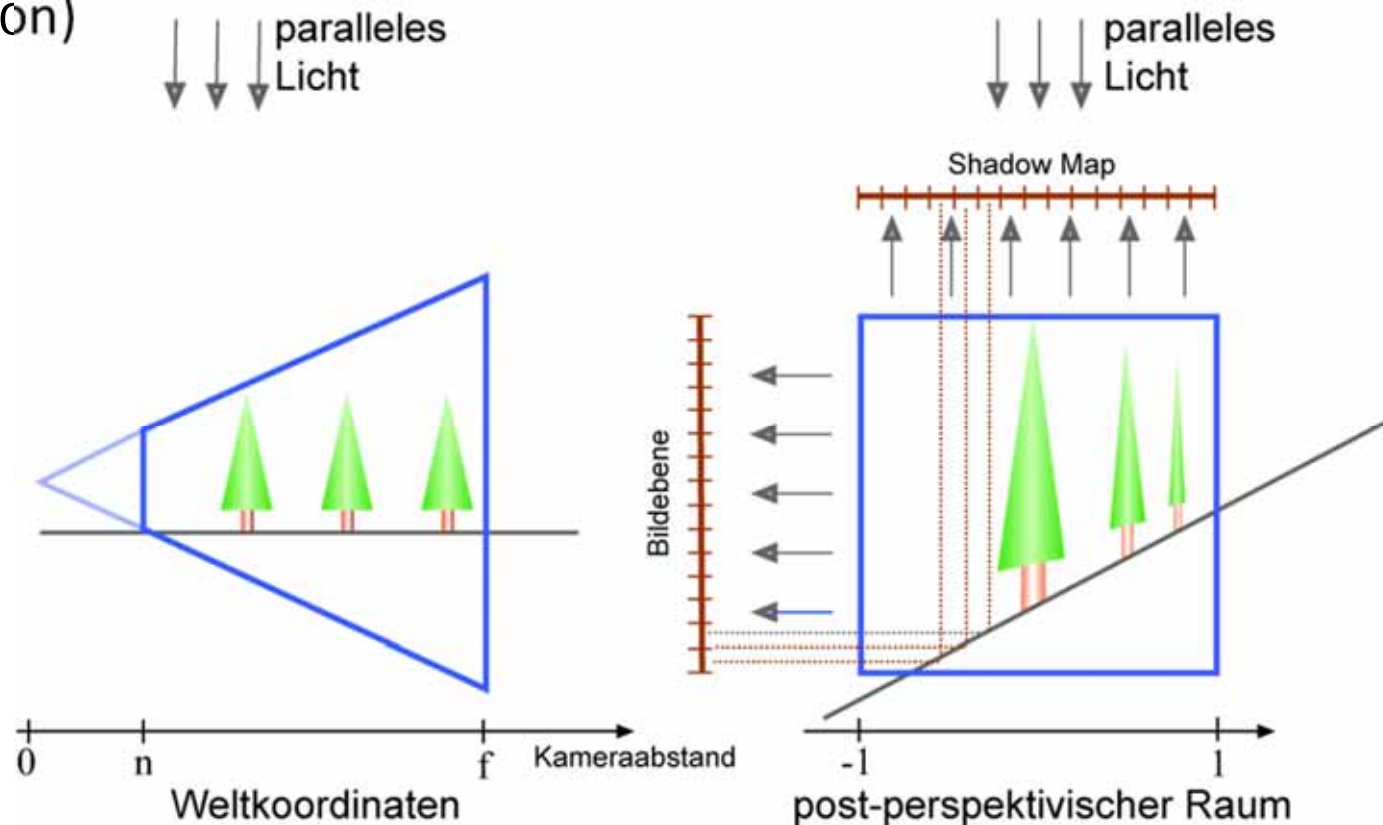
- ▶ wir haben gesehen: Aliasing entsteht durch Perspektive und Orientierung
- ▶ Größe eines Shadow Map Texels $d_s = const$
- ▶ eine durch einen Texel sichtbare Fläche hat die Größe $A \approx d_s \cdot r_s / \cos \alpha_s$ (← in 2D handelt es sich um Strecken)
- ▶ dieselbe Fläche wird von der Kamera gesehen mit $A \approx d_i \cdot r_i / \cos \alpha_i$
- ▶ daraus lässt sich die Größe in Pixel im Kamerabild bestimmen: $d_i \approx d_s \cdot \frac{r_s}{r_i} \cdot \frac{\cos \alpha_i}{\cos \alpha_s}$



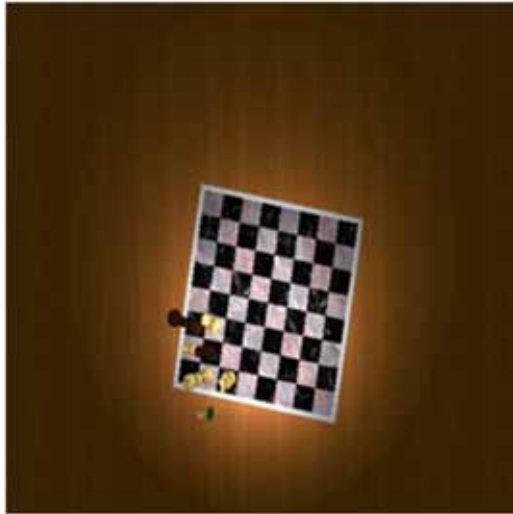
Perspective Shadow Maps (PSMs)



- ▶ Ziel der sog. Perspective Shadow Maps ist die Reduzierung von Aliasing aufgrund der Perspektive, d.h. des $\frac{r_s}{r_i}$ Terms
- ▶ Idee: wende zuerst die perspektivische Transformation der Kamera auf die Szene an und berechne danach die Shadow Map
- ▶ in diesem Beispiel spielt r_s aufgrund der parallelen LQ keine Rolle (r_i schon)

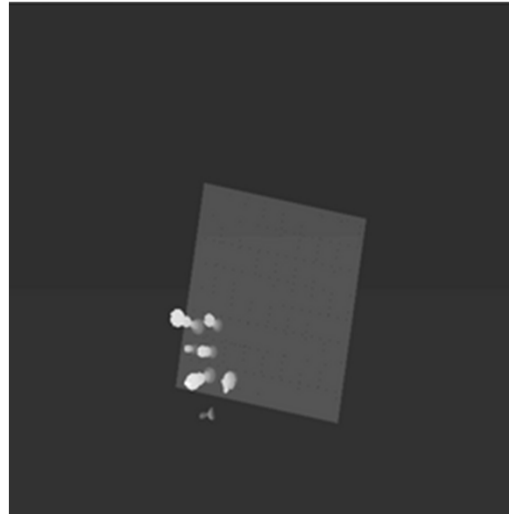


Perspective Shadow Maps (PSMs)



Szene von Lichtquelle

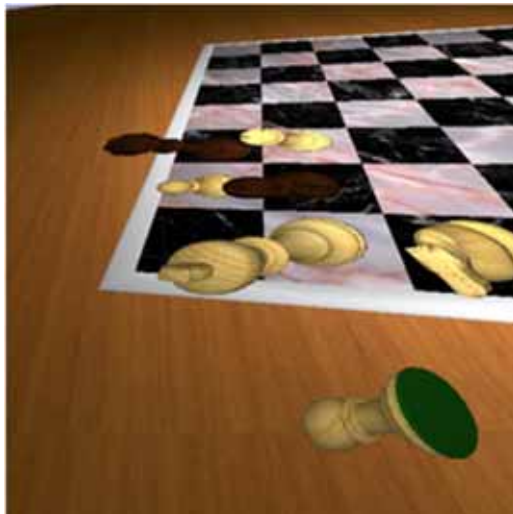
normale
Shadow Maps



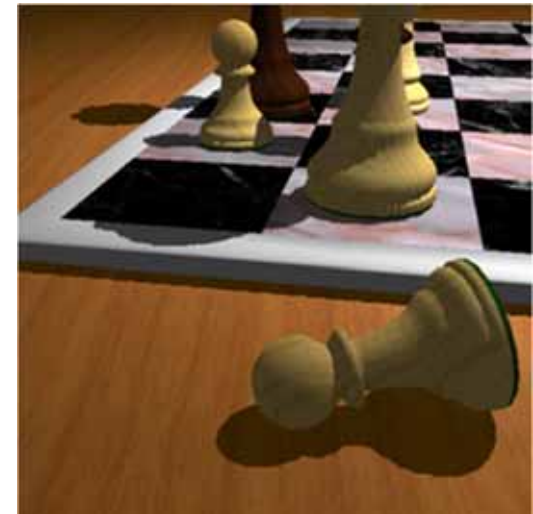
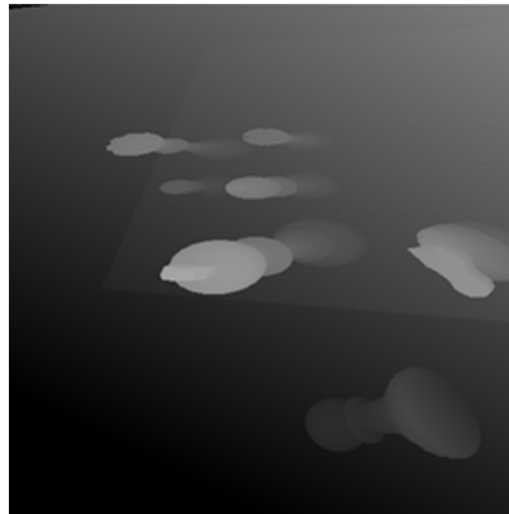
Shadow Map



Szene von Kamera



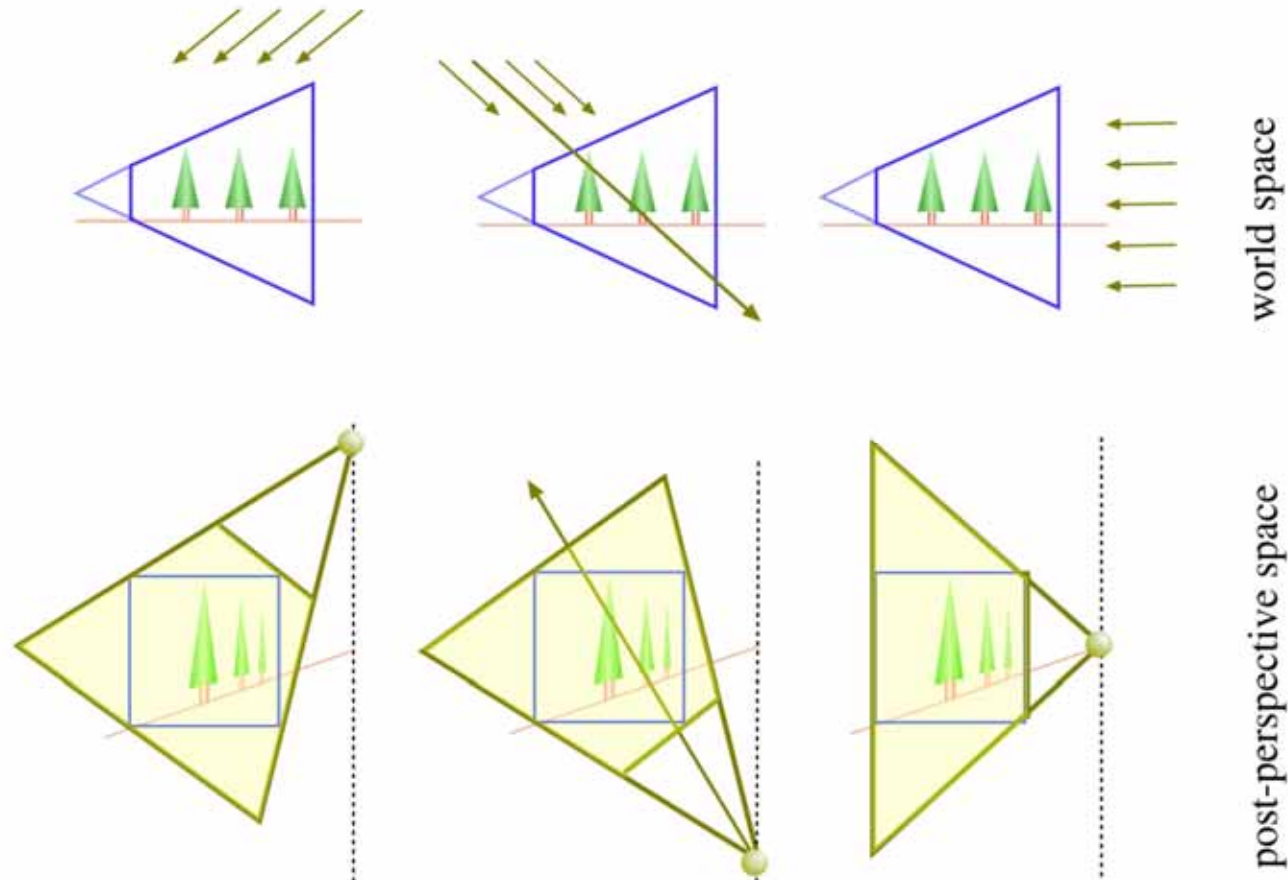
perspektivische
Shadow Maps



Perspective Shadow Maps (PSMs)



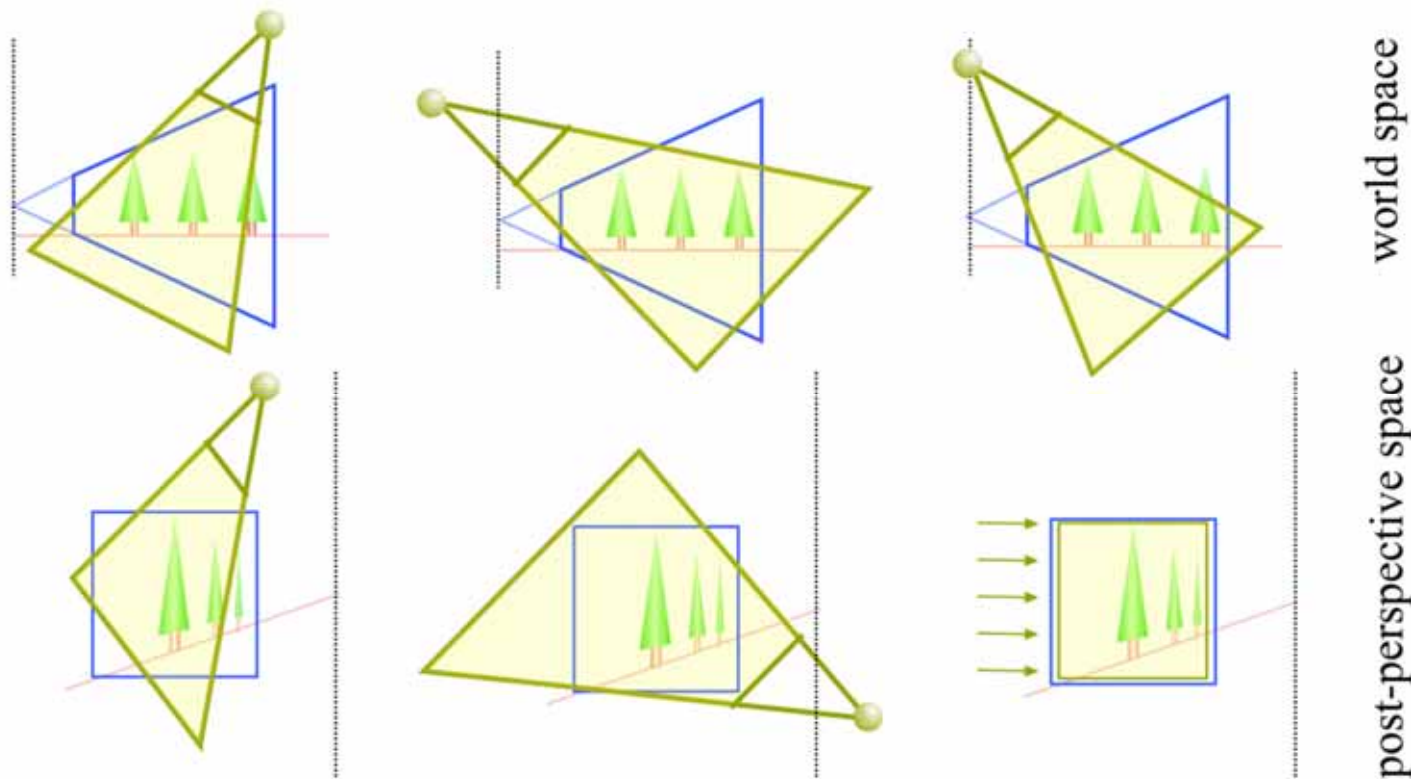
- ▶ Eigenschaften projektiver Abbildungen erfordern Fallunterscheidungen
 - ▶ parallele Geraden bleiben i.A. nicht parallel
 - ▶ die Lichtstrahlen einer Parallellichtquelle werden i.A. zu einer Punktlichtquelle im post-perspektivischen Raum



Perspective Shadow Maps (PSMs)



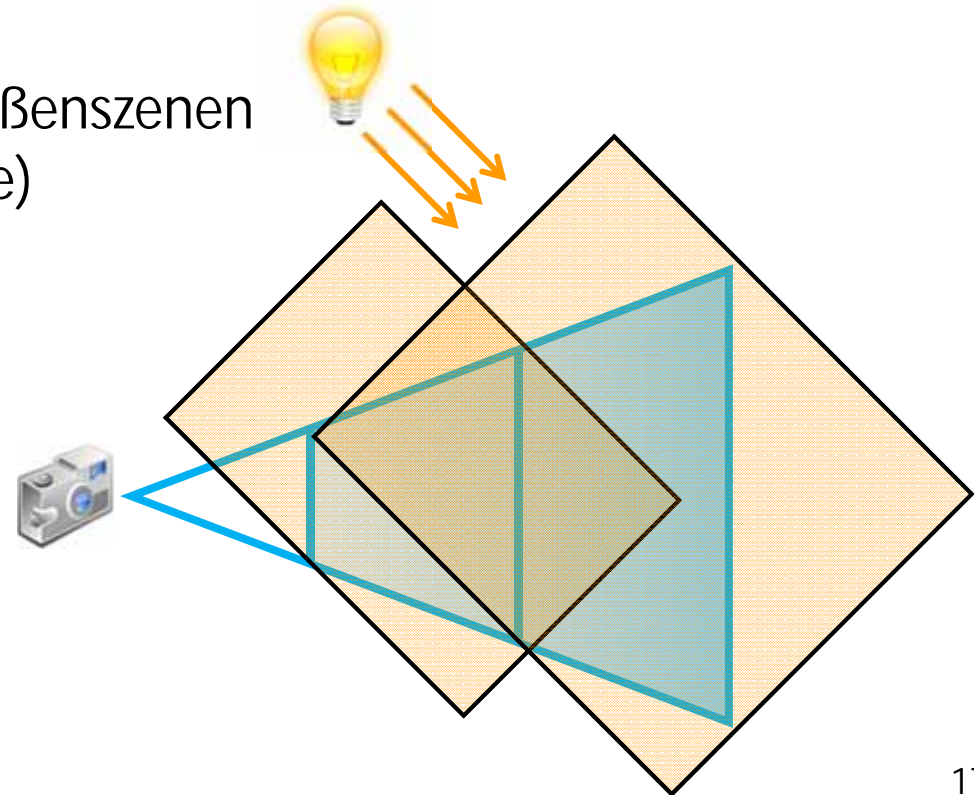
- ▶ Eigenschaften projektiver Abbildungen erfordern Fallunterscheidungen
 - ▶ parallele Geraden bleiben i.A. nicht parallel
 - ▶ Punktlichtquellen können zu parallelen Lichtquellen im post-perspektivischen Raum werden



Cascaded Shadow Maps



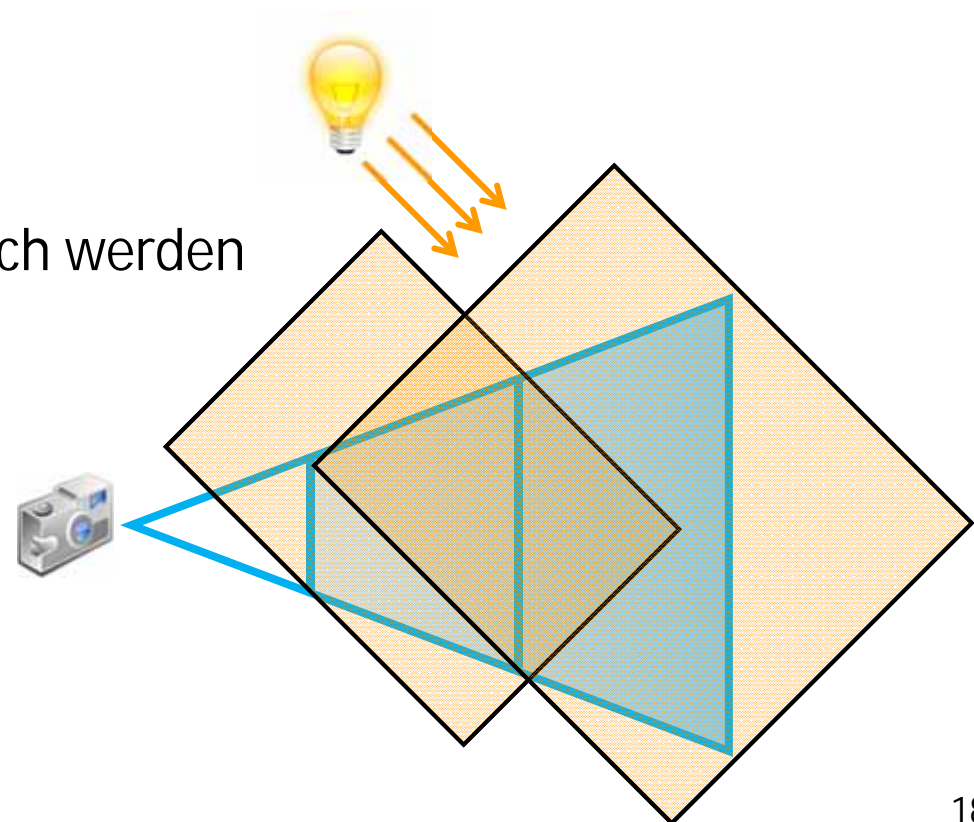
- ▶ Perspective Shadow Maps (und davon abgeleitete Verfahren) sind nicht ganz einfach in den Griff zu kriegen: Spezialfälle, noch schwierigere Parameterwahl (z.B. Bias) usw.
- ▶ Alternative zu PSMs
 - ▶ berechne mehrere (hier 2) Shadow Maps mit gleicher Auflösung
 - ▶ eine SM ist für den vorderen Teil der Sichtpyramide, die andere für den hinteren Teil bestimmt
- ▶ typischerweise verwendet für Außenszenen (Sonnenlicht, parallele Lichtquelle)



Cascaded Shadow Maps



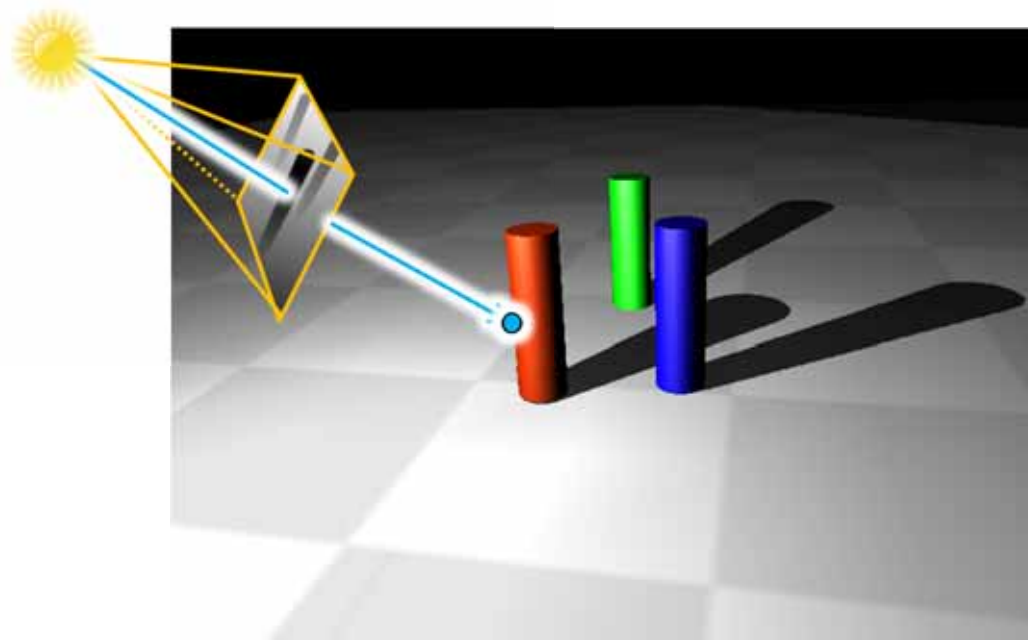
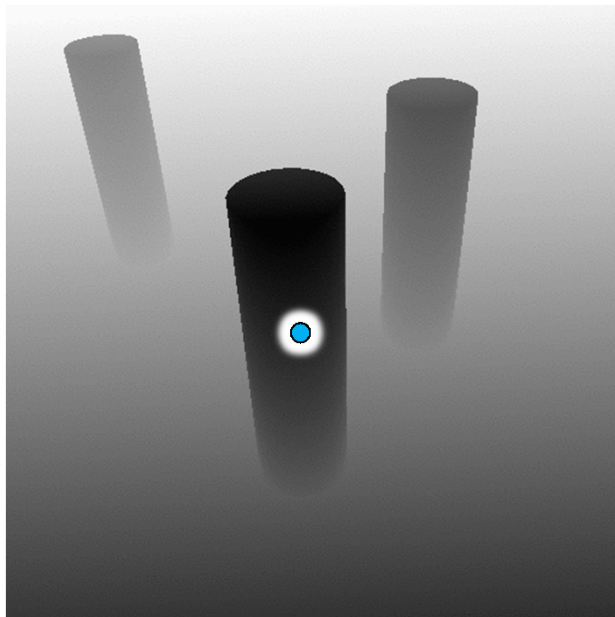
- ▶ Achtung:
 - ▶ jede SM muss natürlich die schattenwerfenden Objekte erfassen
 - ▶ im Überlappungsbereich werden meist die Resultate aus beiden SMs kombiniert
- ▶ Vorteile
 - ▶ einfache Implementation
 - ▶ robust und schnell
- ▶ Nachteile
 - ▶ Objekte im Überlappungsbereich werden mehrfach gezeichnet



Shadow Maps: Zusammenfassung



- ▶ das Shadow Map-Verfahren ist
 - ▶ relativ einfach, schnell und einigermaßen robust (Bias, ...)
 - ▶ inhärentes Problem: es handelt sich um eine diskrete Abtastung
 - ▶ das meistverwendete Verfahren für Schatten mit Grafik-HW
- ▶ sehr viele Erweiterungen und Varianten, z.B.
 - ▶ Cascaded Shadow Maps für räumlich große Szenen
 - ▶ PSMs und darauf aufbauende Arbeiten
 - ▶ Adaptive Shadow Maps für besseres Abtasten, u.v.m.



Flächenlichtquellen



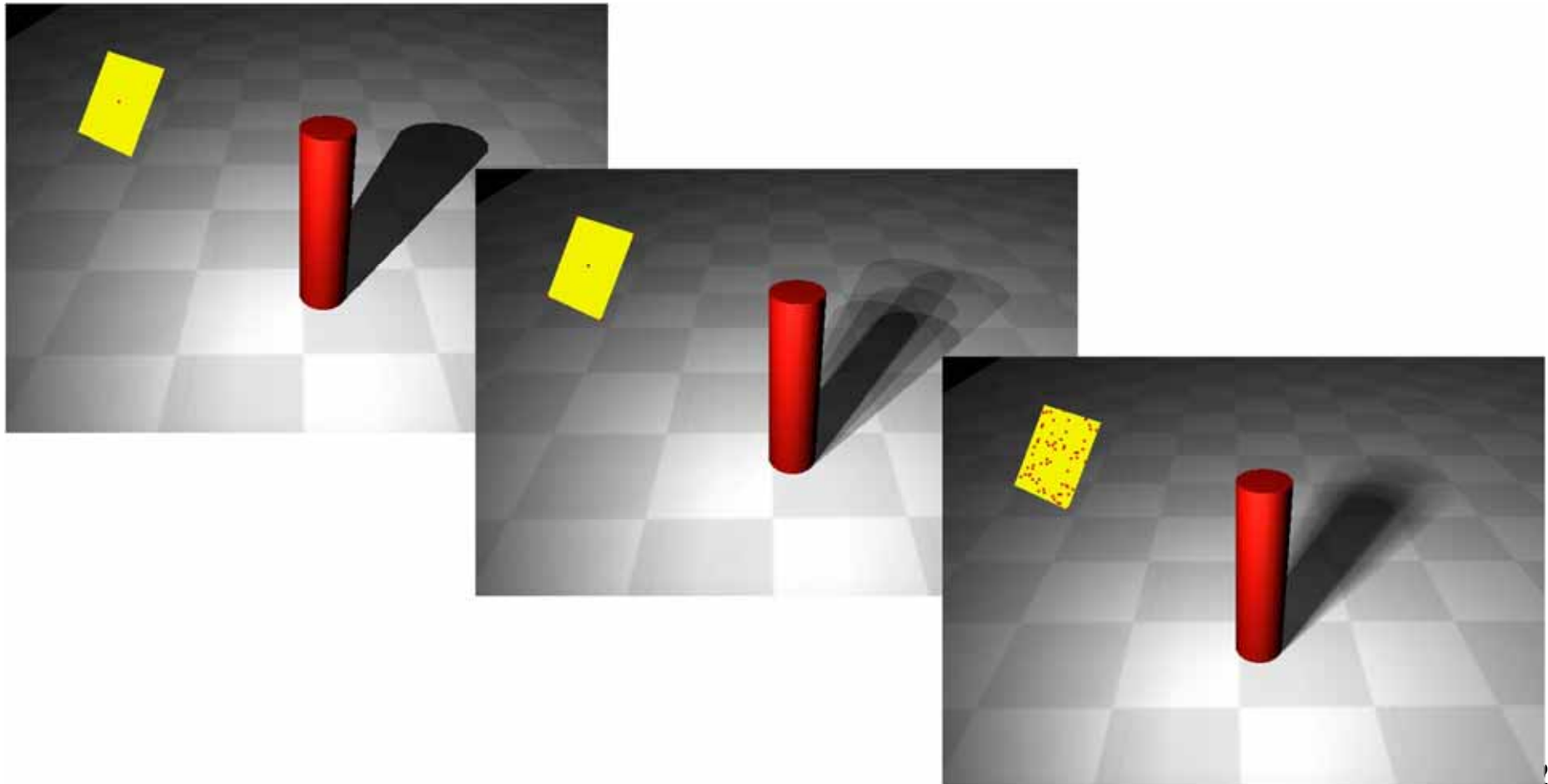
- ▶ bisher: Verfahren, die Sichtbarkeit von einer Punktq. aus bestimmen
- ▶ reale LQ besitzen eine endliche Größe: weiche Schatten entstehen durch partielle Sichtbarkeit der LQ
- ▶ Achtung: weiche Kanten durch Filterung (z.B. mit VSM) \neq weiche Schatten aufgrund einer Flächenlichtquelle



Flächenlichtquellen

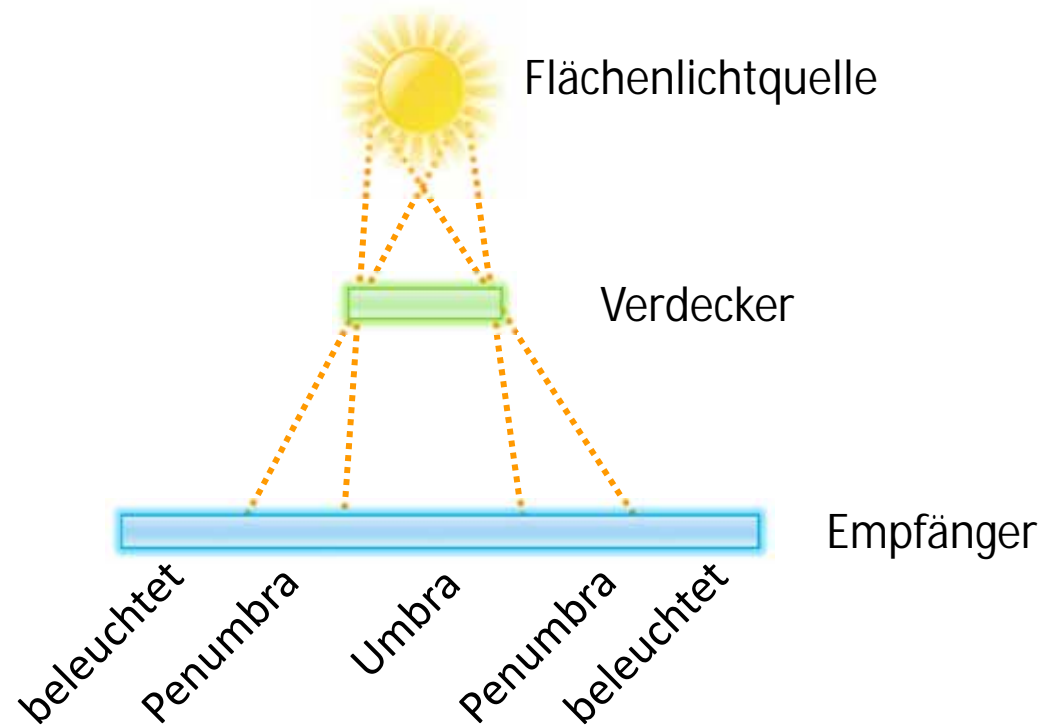


- ▶ weiche Schatten erhalten wir (einfach, aber langsam) durch
 - ▶ Abtasten der Flächenlichtquelle (wie bei MC-Integration)
 - ▶ in diesem Kontext: Erzeugen von mehreren Punktlichtquellen mit Shadow Maps/Shadow Volumes und Mittelung der Beiträge



Flächenlichtquellen

- ▶ unterscheide 3 Regionen:
Licht – Halbschatten (Penumbra) – Schatten (Umbra)



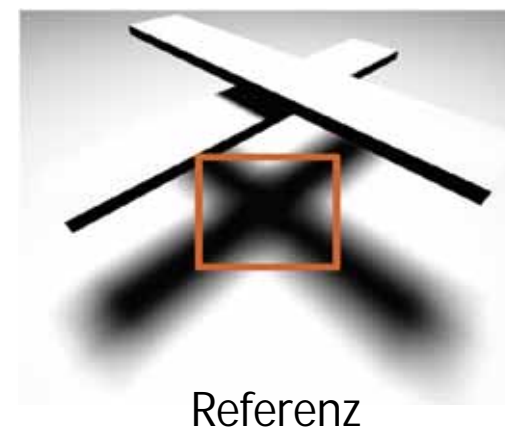
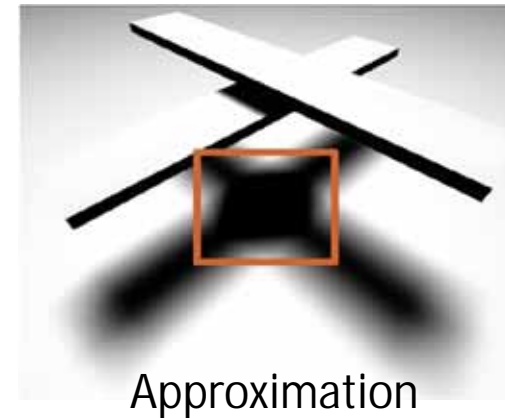
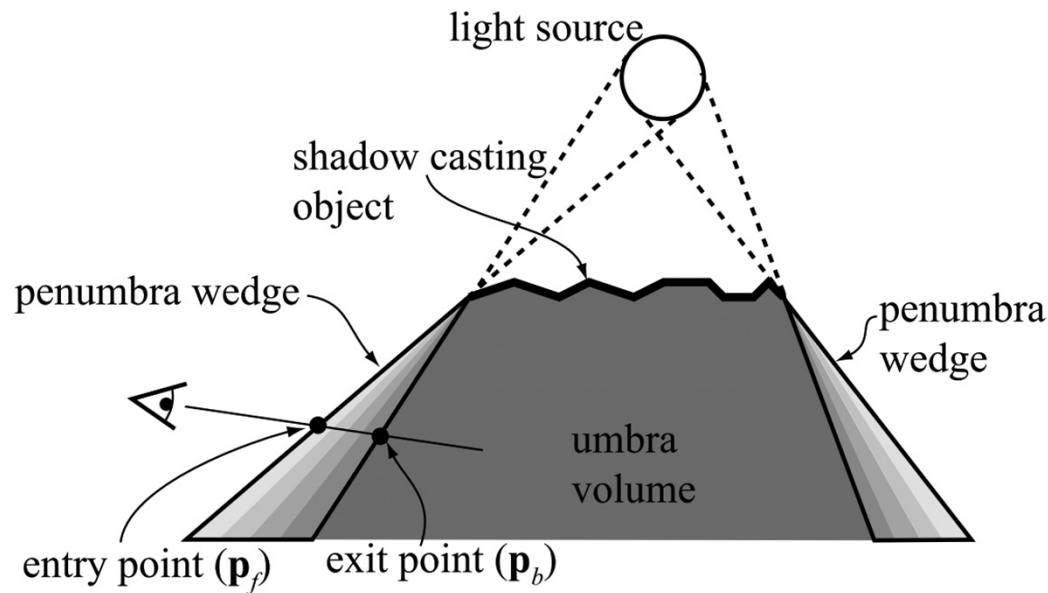
- ▶ für große Lichtquellen/kleine Verdecker kann der Vollschatten auch verschwinden

Flächenlichtquellen und Shadow Volumes



Penumbra Wedges

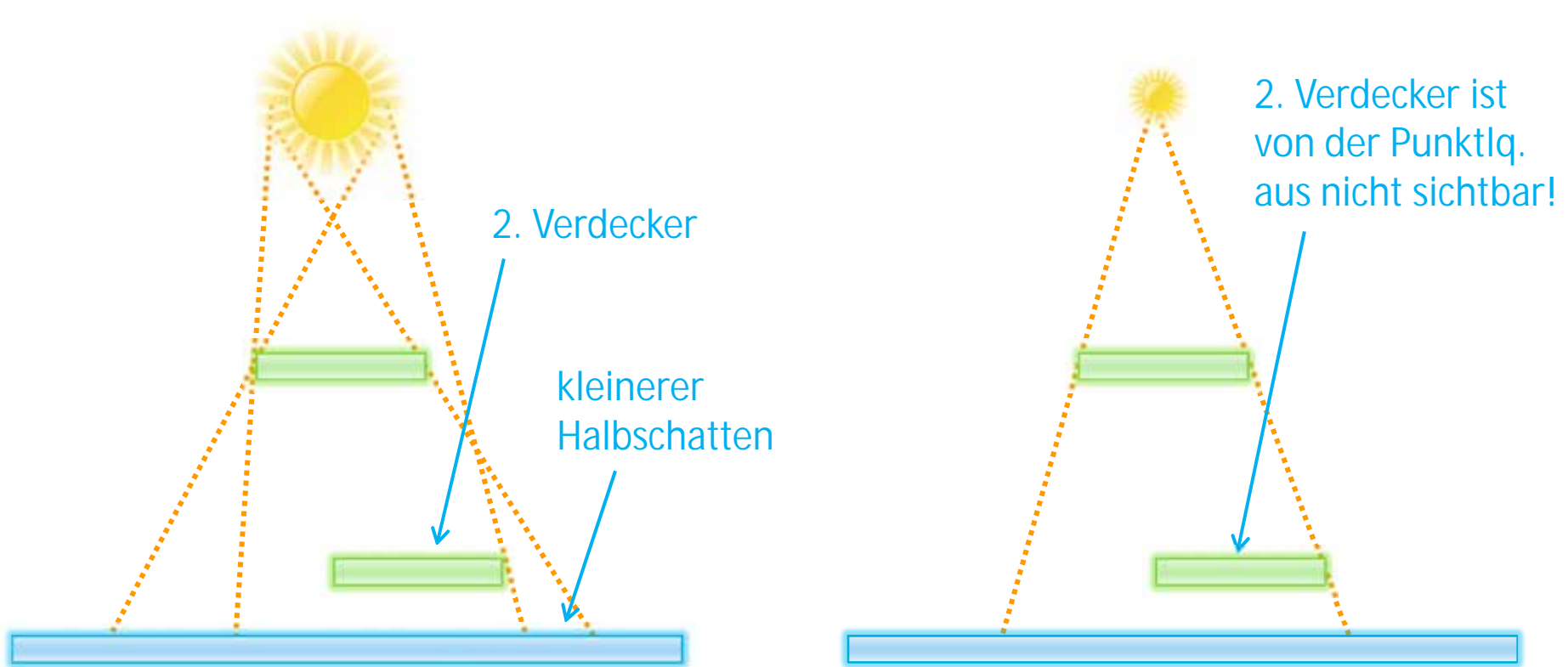
- ▶ erzeuge Schattenvolumen die den Halbschattenbereich einschließen
- ▶ schätze die Verschattung einer Oberfläche in diesen Volumen ab
- ▶ keine exakte Verdeckungsrechnung: die Abschätzung kann zu falschen Resultaten führen



Flächenlichtquellen und Shadow Maps



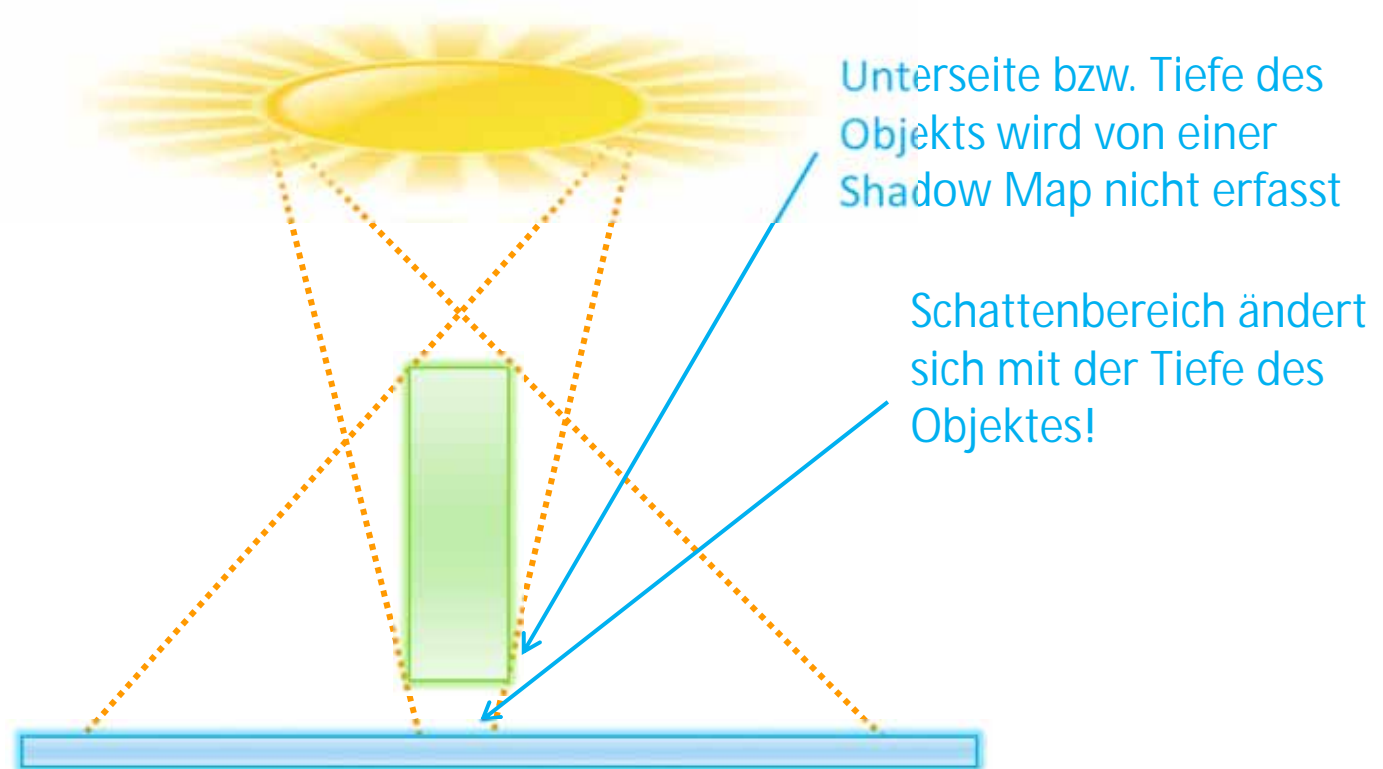
- ▶ viele Ansätze versuchen die Verschattung von Flächenlichtquellen mit nur einer Shadow Map zu approximieren
- ▶ es kann nur bei einer Approximation bleiben, denn nicht alle Informationen sind in der SM enthalten



Flächenlichtquellen und Shadow Maps



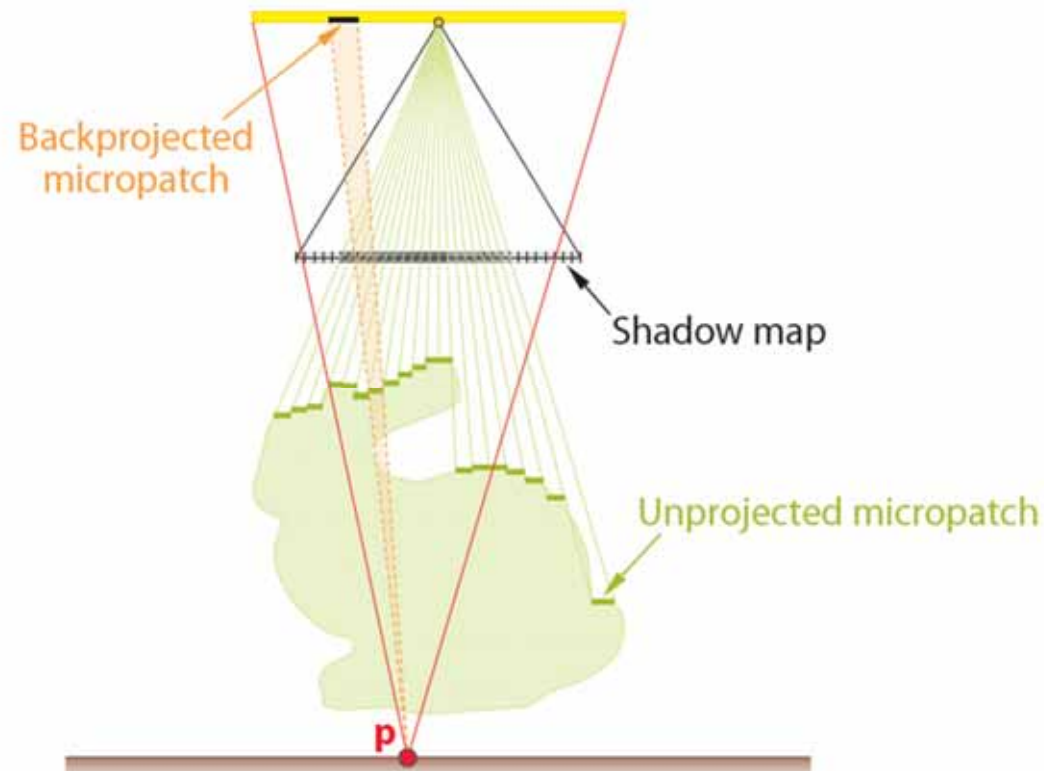
- ▶ viele Ansätze versuchen die Verschattung von Flächenlichtquellen mit nur einer Shadow Map zu approximieren
- ▶ es kann nur bei einer Approximation bleiben, denn nicht alle Informationen sind in der SM enthalten



Flächenlichtquellen und Shadow Maps



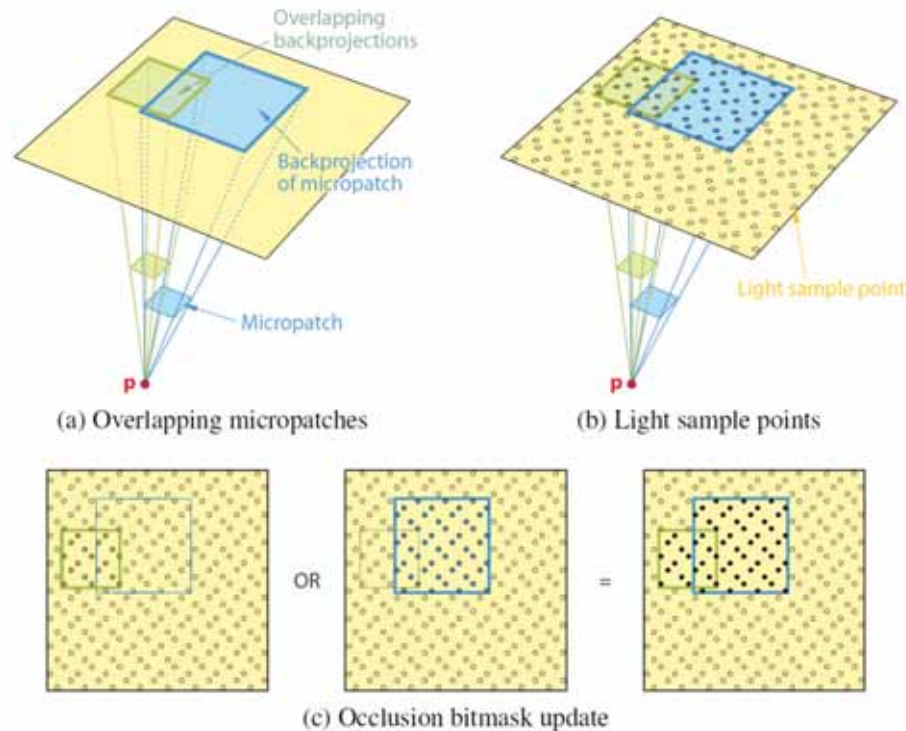
- ▶ genereller Ansatz: Rückprojektion
 - ▶ jeder Texel der Shadow Map repräsentiert ein kleines Flächenstück
 - ▶ Rückprojektion dieser „Micropatches“ auf die Fläche der Lichtquelle
 - ▶ Abschätzung wie viel der Fläche der Lichtquelle bedeckt ist
- ▶ Hauptunterschied der Verfahren, die diese Idee verfolgen, ist die Verwaltung der rückprojizierten Fläche



Flächenlichtquellen und Shadow Maps



- ▶ Verwaltung der rückproj. Fläche, z.B. über Bitmasken [Schwarz2007]



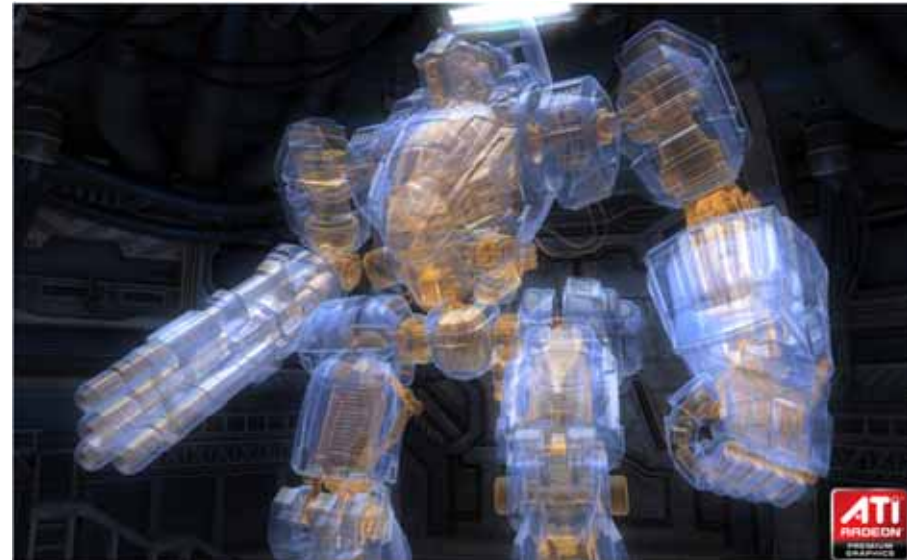
- ▶ weitere Verfahren:
 - ▶ Suche nach Schattenkanten und Abschätzen der Verdeckung ähnlich Penumbra Wedges, u.v.m.
 - ▶ siehe SIGGRAPH-Kurs zu Schatten: <http://www.realtimeshadows.com/>

Exkurs: Per-Pixel Linked Lists



Beispielanwendung: Transparenz ohne Sortierung der Geometrie

- ▶ Ziel: vermeide Sortierung von transparenten Polygonen
 - ▶ Schritt 1: zeichne opaque Geometrie
 - ▶ Schritt 2: Rendering transparenter Objekte
 - ▶ Schritt 3: Pro-Pixel Compositing
-
- ▶ direkte Anwendung:
Shadow Maps mit semi-transparenten Flächen...
 - ▶ ... anschließend:
weiche Schatten!



Quelle der Folien: Advances in Real-Time Rendering
(<http://advances.realtimerendering.com/s2010/index.html>)

Implementationsdetails:
<http://blog.icare3d.org/2010/07/opengl-40-abuffer-v20-linked-lists-of.html>

Exkurs: Per-Pixel Linked Lists

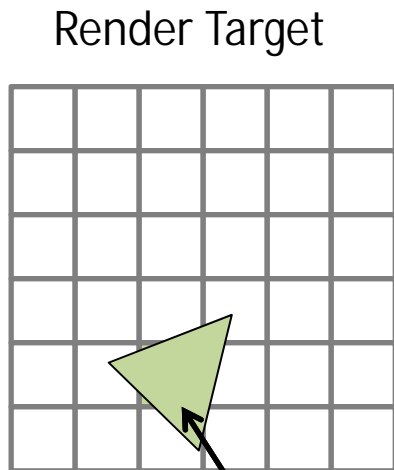
Beispielanwendung: Transparenz ohne Sortierung der Geometrie

- ▶ Schritt 1: zeichne opaque Geometrie (wie üblich)
- ▶ Schritt 2: Rendering transparenter Objekte
 - ▶ speichere Fragmente mit einer verketteten Listen
 - ▶ speichere pro Fragment: Farbe, Alpha, Tiefe
 - ▶ hierzu werden 2 Puffer benötigt
 - ▶ Head Pointer Buffer: ein Integer pro Pixel
 - ▶ Node Buffer: Puffer zum Speichern aller Fragmente
- ▶ Schritt 3: Pro-Pixel Compositing

Exkurs: Per-Pixel Linked Lists



Erzeugung der verketteten Listen



opake Geometrie
aus Schritt 1

Head Pointer Buffer

-1	-1	-1	-1	-1	-1
-1	-1	-1	-1	-1	-1
-1	-1	-1	-1	-1	-1
-1	-1	-1	-1	-1	-1
-1	-1	-1	-1	-1	-1
-1	-1	-1	-1	-1	-1

Counter = 0

Node Buffer

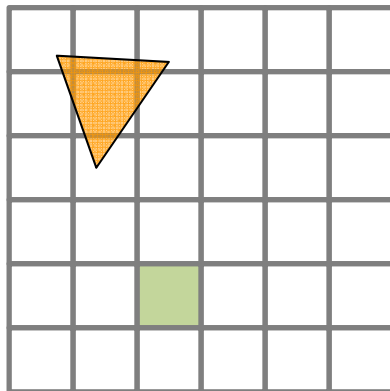
0	1	2	3	4	5	6	...		

Exkurs: Per-Pixel Linked Lists



Erzeugung der verketteten Listen

Render Target



Head Pointer Buffer

-1	-1	-1	-1	-1	-1
-1	-1	-1	-1	-1	-1
-1	-1	-1	-1	-1	-1
-1	-1	-1	-1	-1	-1
-1	-1	-1	-1	-1	-1
-1	-1	-1	-1	-1	-1

Counter = 0

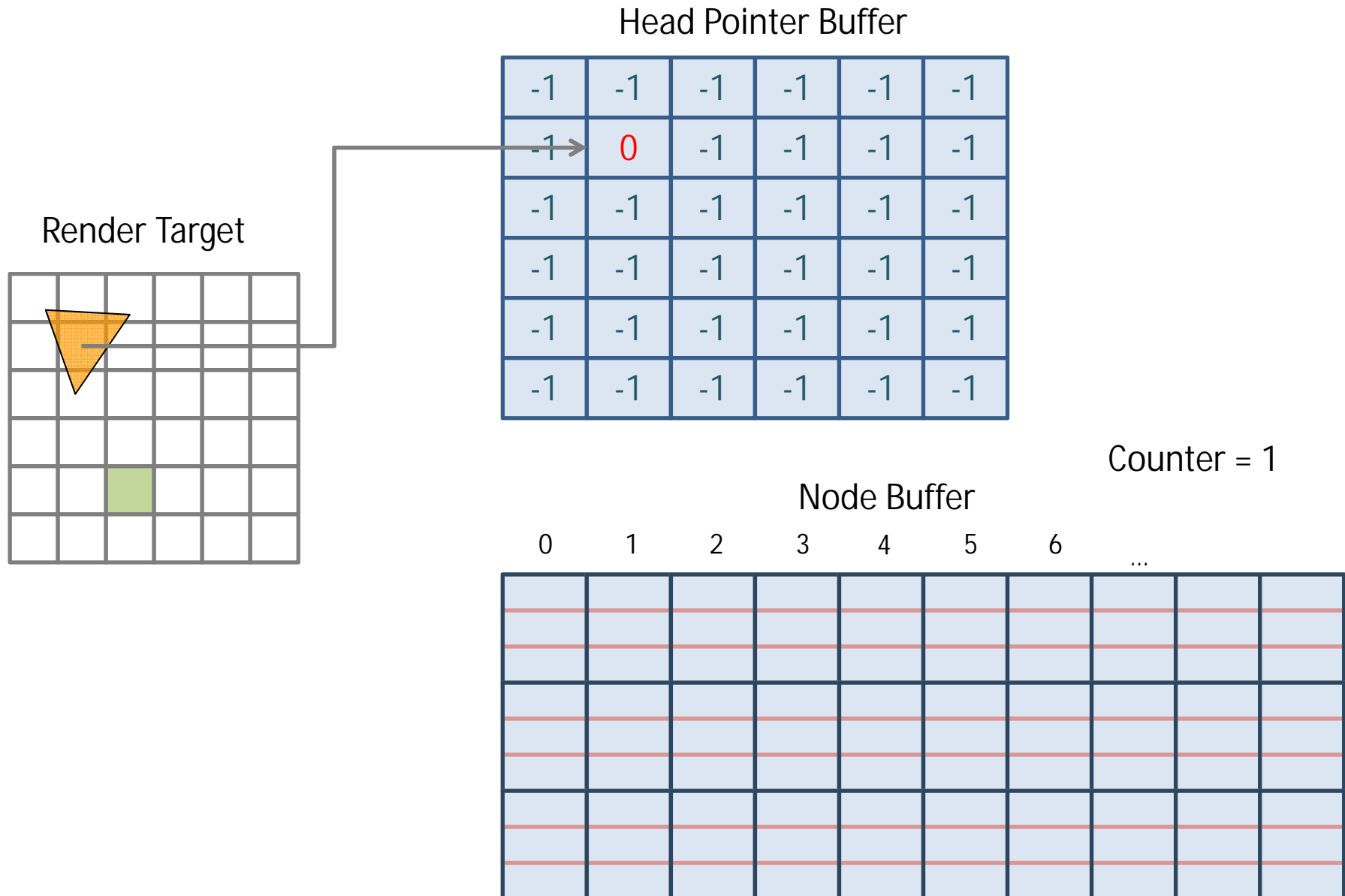
Node Buffer

0	1	2	3	4	5	6	...		

Exkurs: Per-Pixel Linked Lists



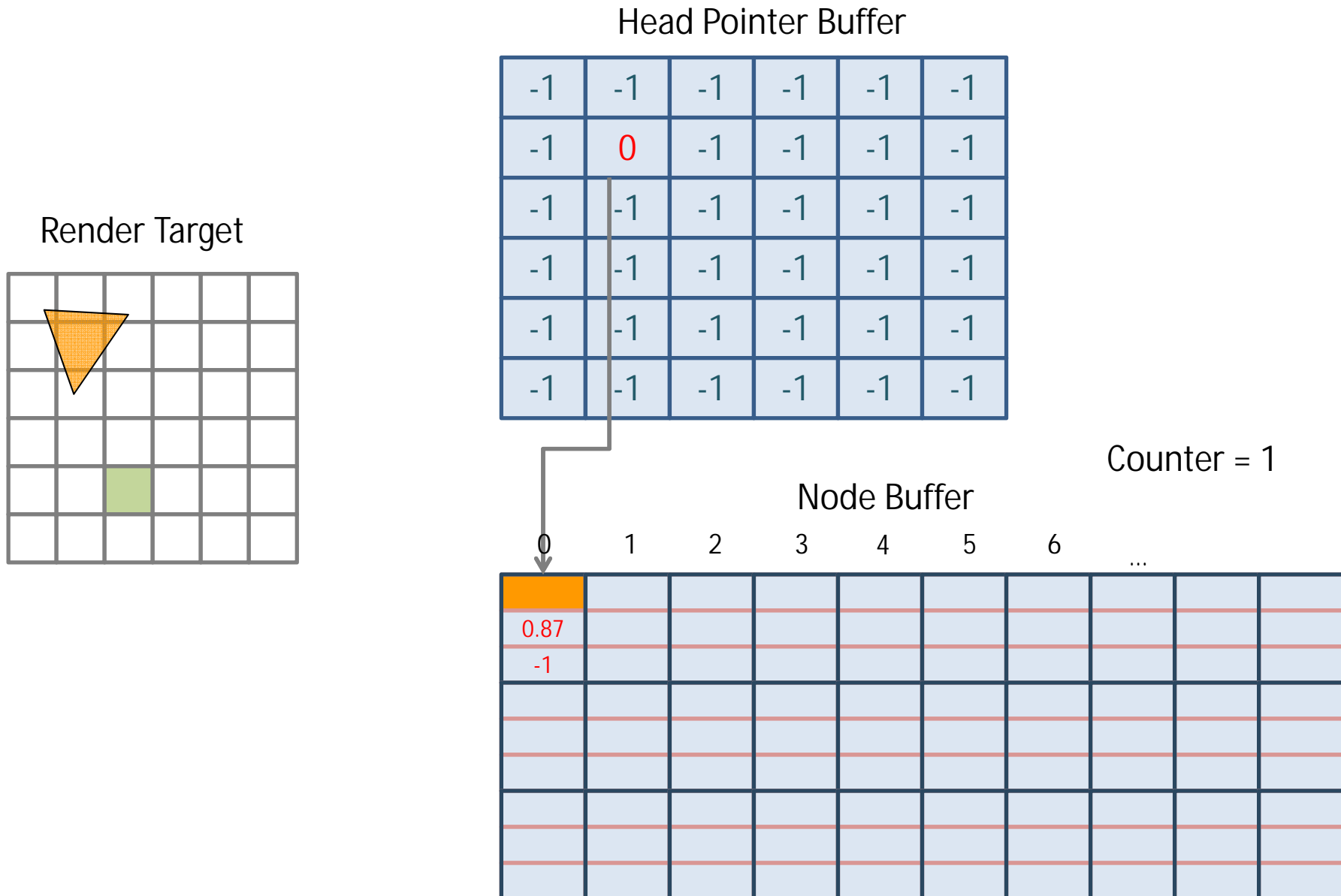
Erzeugung der verketteten Listen



Exkurs: Per-Pixel Linked Lists



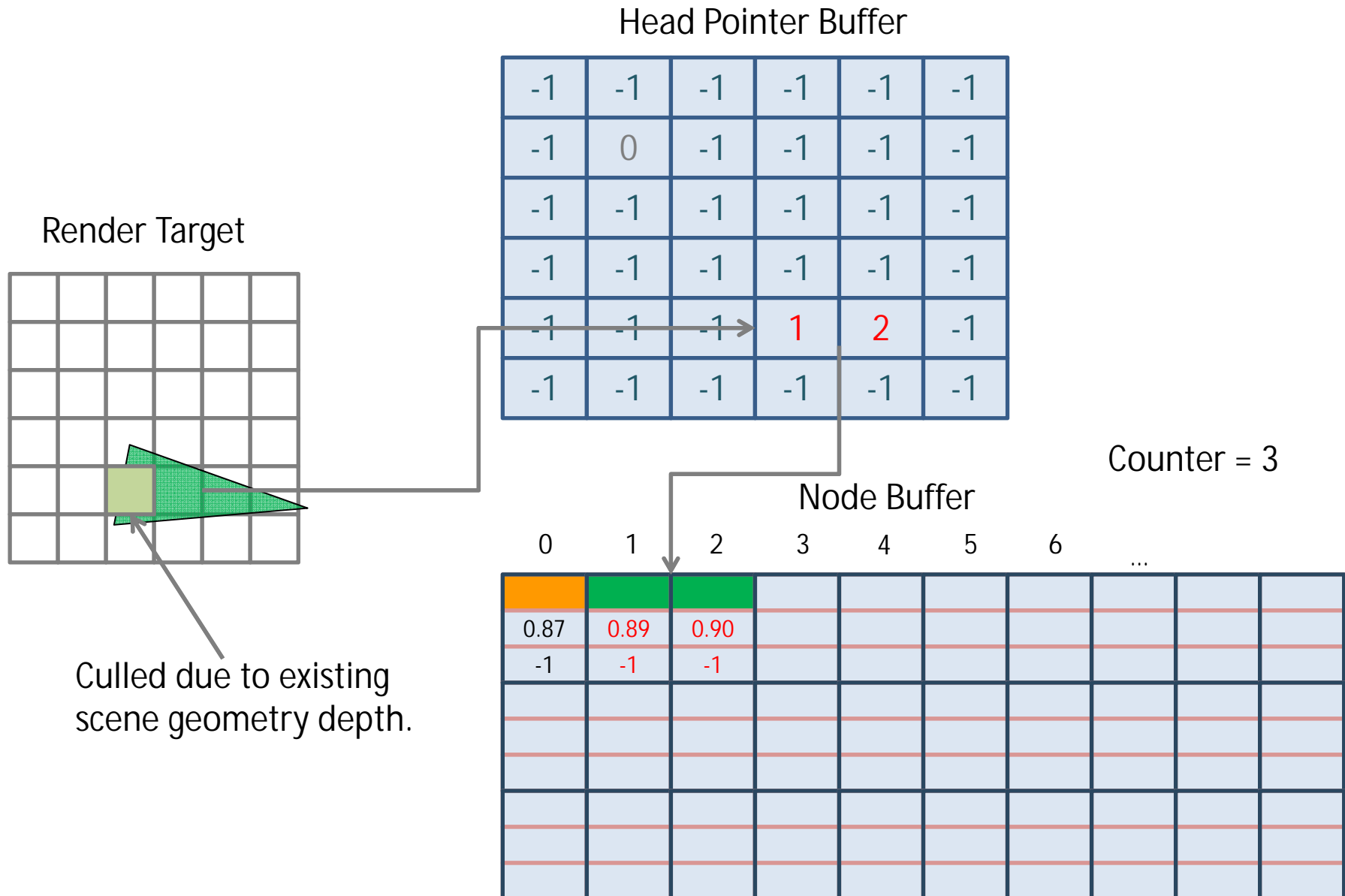
Erzeugung der verketteten Listen



Exkurs: Per-Pixel Linked Lists



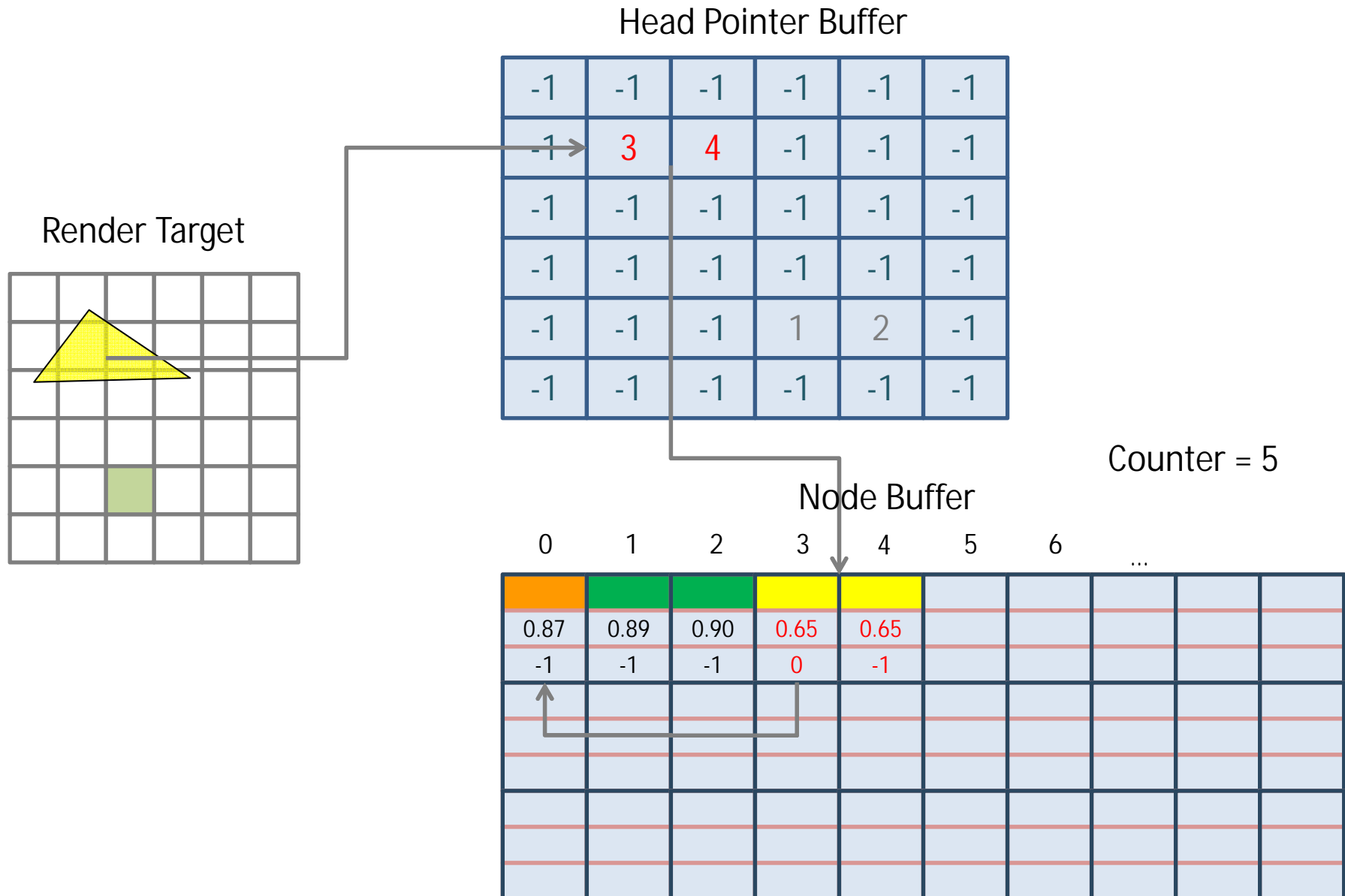
Erzeugung der verketteten Listen



Exkurs: Per-Pixel Linked Lists



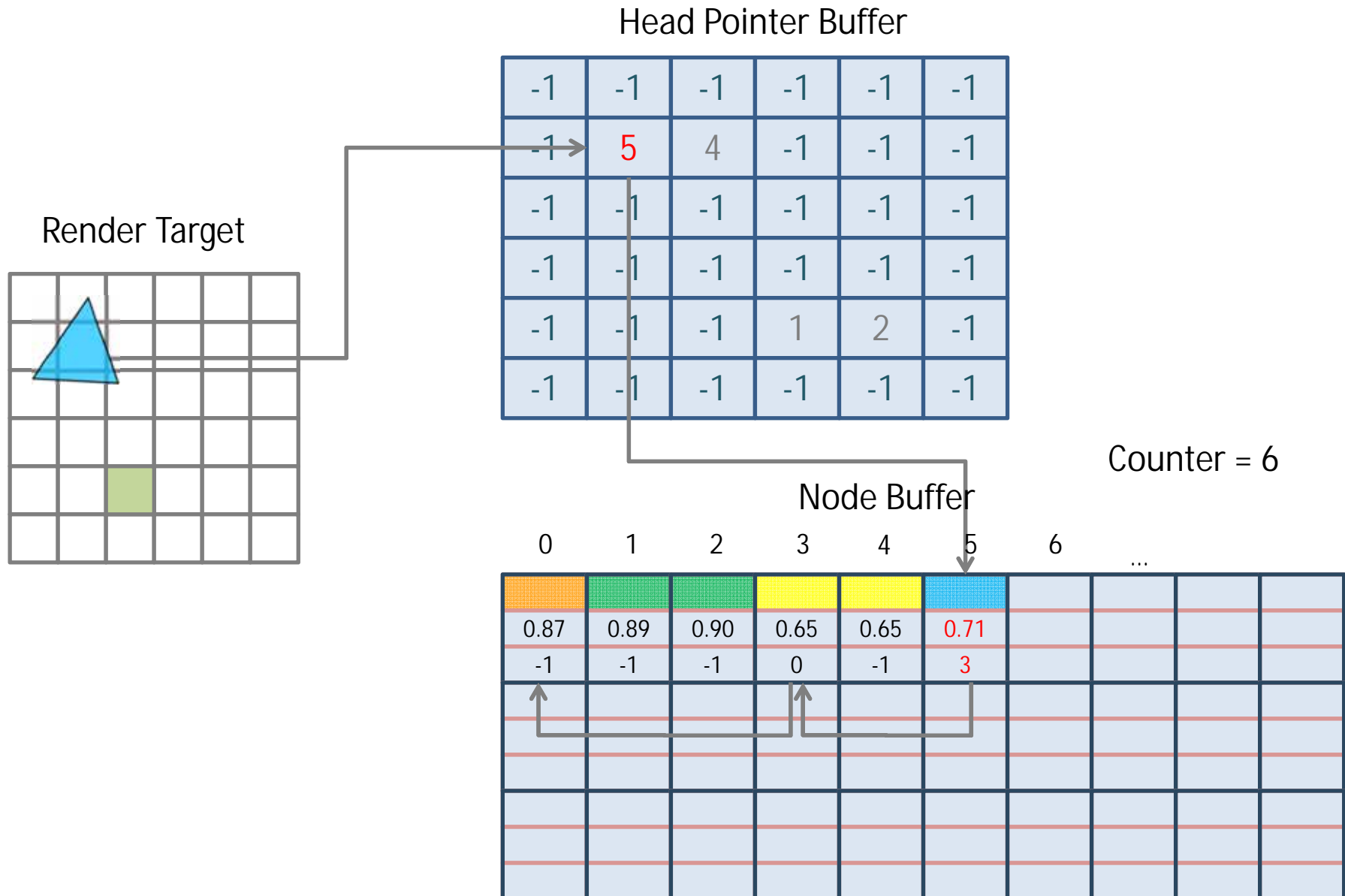
Erzeugung der verketteten Listen



Exkurs: Per-Pixel Linked Lists



Erzeugung der verketteten Listen



Exkurs: Per-Pixel Linked Lists

- ▶ Welche OpenGL-Funktionalität wird dazu benötigt?
- ▶ Atomare Zähler
 - ▶ unsigned int, Inkrementieren/Dekrementieren
 - ▶ keine explizite Synchronisation notwendig
 - ▶ http://www.opengl.org/wiki/Atomic_Counter
- ▶ Shader Storage Buffer Object
 - ▶ (große) Speicherblöcke mit wahlfreien und atomaren Zugriffen
 - ▶ z.B. `int atomicExchange(inout int mem, int data);`
- ▶ Größe des Node Buffers
 - ▶ = Anzahl transparenter Fragmente, die den Tiefentest bestehen
 - ▶ Bestimmung z.B. mit sogenannten Occlusion Queries (siehe späteres Kapitel)

Exkurs: Per-Pixel Linked Lists



Beispielanwendung: Transparenz ohne Sortierung der Geometrie

- ▶ Schritt 1: zeichne opaque Geometrie
- ▶ Schritt 2: Rendering transparenter Objekte
- ▶ **Schritt 3: Pro-Pixel Compositing**
 - ▶ Zeichnen eines bildschirmfüllenden Rechtecks zum Anstoßen eines Fragment-Programms
 - ▶ Sortierung der verketteten Listen pro Pixel (z.B. Insertion Sort)
 - ▶ Compositing der sortierten Fragmente mit Hintergrundfarbe

Exkurs: Per-Pixel Linked Lists

Compositing, Rendering der Fragmente

Render Target

■	■	■	■	■	■
■					
		■			

(0,0)->(1,1):

Fetch Head Pointer: -1

-1 indicates no fragment to render

Head Pointer Buffer

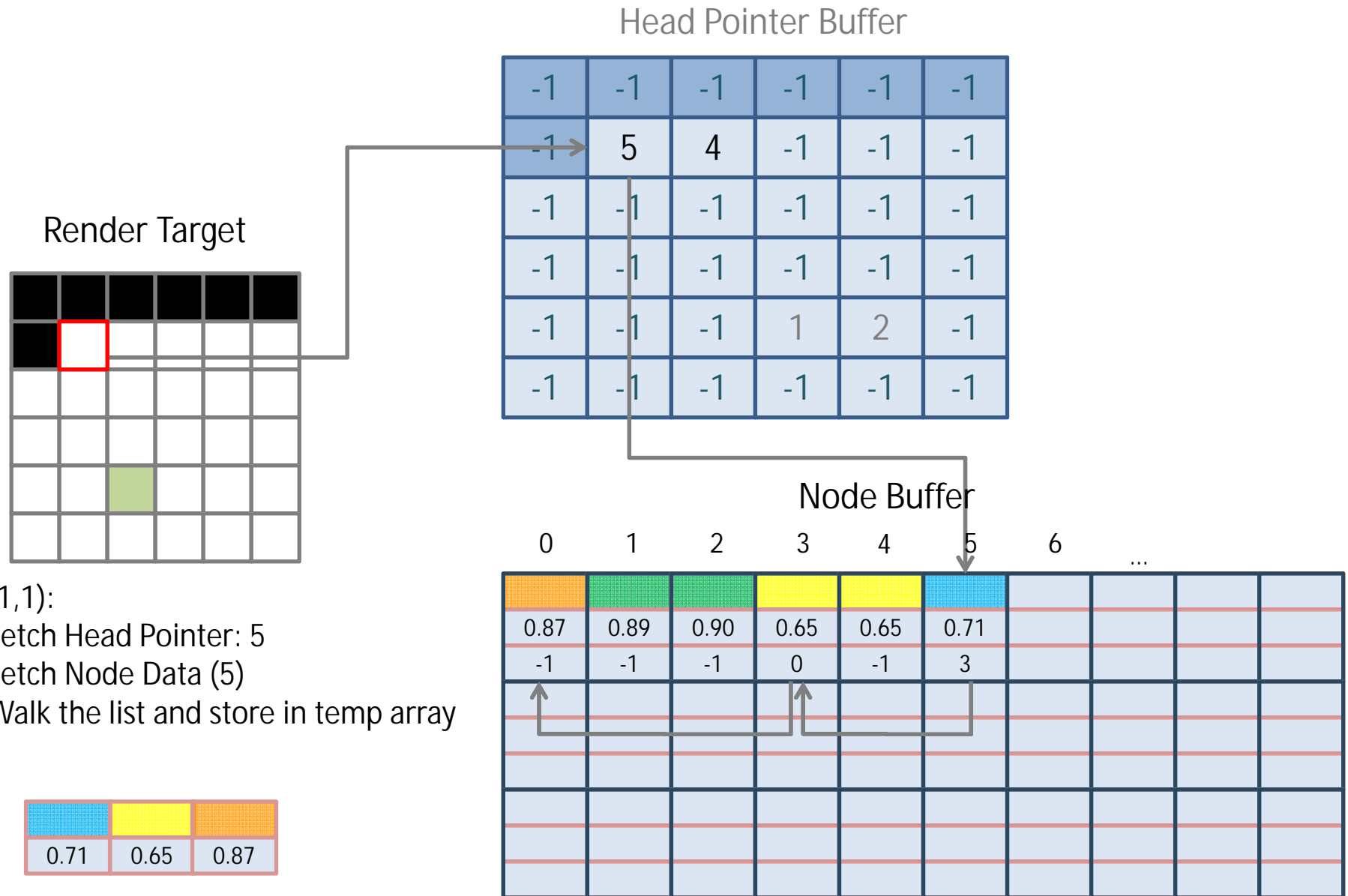
-1	-1	-1	-1	-1	-1
-1	5	4	-1	-1	-1
-1	-1	-1	-1	-1	-1
-1	-1	-1	-1	-1	-1
-1	-1	-1	1	2	-1
-1	-1	-1	-1	-1	-1

Node Buffer

0	1	2	3	4	5	6	...
0.87	0.89	0.90	0.65	0.65	0.71		
-1	-1	-1	0	-1	3		

Exkurs: Per-Pixel Linked Lists

Compositing, Rendering der Fragmente

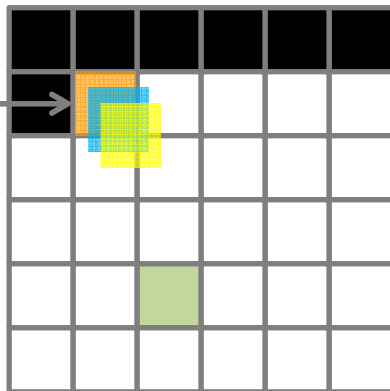


Exkurs: Per-Pixel Linked Lists

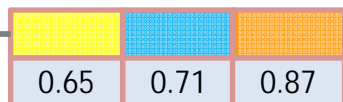


Compositing, Rendering der Fragmente

Render Target



(1,1):
Sort temp array
Blend colors and write out



-1	-1	-1	-1	-1	-1
-1	5	4	-1	-1	-1
-1	-1	-1	-1	-1	-1
-1	-1	-1	-1	-1	-1
-1	-1	-1	1	2	-1
-1	-1	-1	-1	-1	-1

Node Buffer

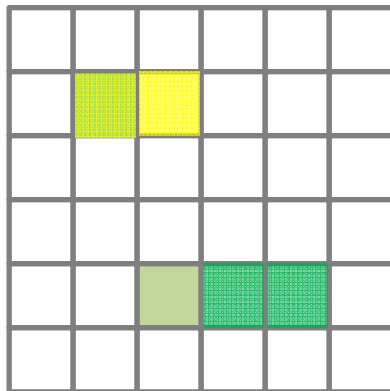
0	1	2	3	4	5	6	...
0.87	0.89	0.90	0.65	0.65	0.71		
-1	-1	-1	0	-1	3		

Exkurs: Per-Pixel Linked Lists



Compositing, Rendering der Fragmente

Render Target



Head Pointer Buffer

-1	-1	-1	-1	-1	-1
-1	5	4	-1	-1	-1
-1	-1	-1	-1	-1	-1
-1	-1	-1	-1	-1	-1
-1	-1	-1	1	2	-1
-1	-1	-1	-1	-1	-1

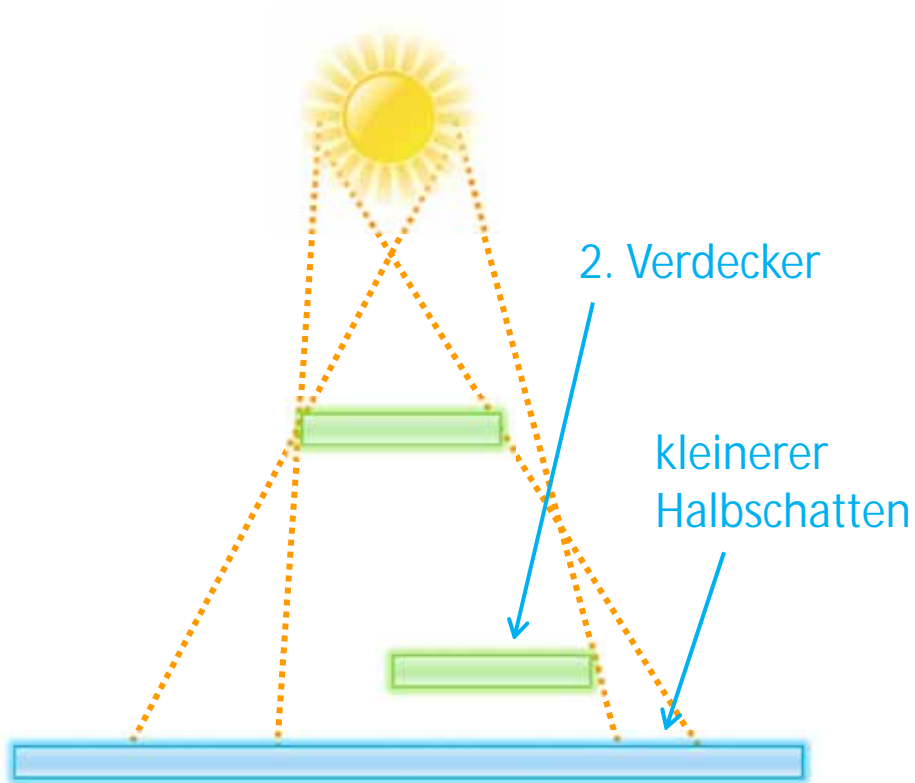
Node Buffer

0	1	2	3	4	5	6	...
0.87	0.89	0.90	0.65	0.65	0.71		
-1	-1	-1	0	-1	3		

Filtering Multilayer Shadow Maps for Accurate Soft Shadows



- ▶ Anwendung der Pro-Pixel Fragment Lists (oder vergleichbarer Technik) zum Sammeln der Information über verdeckte Flächen

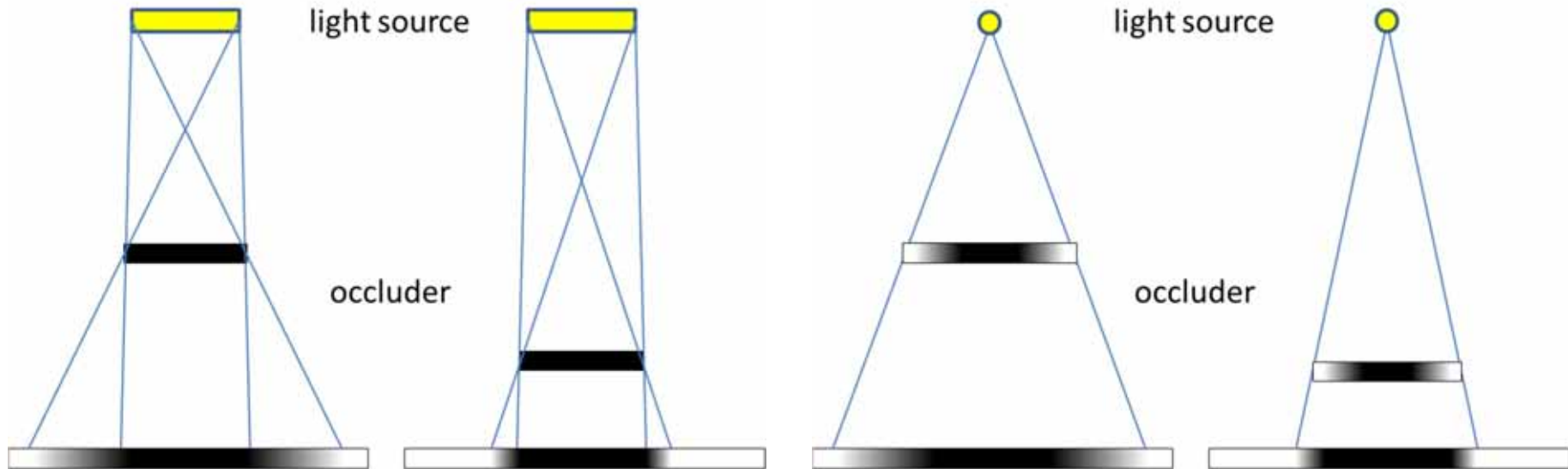


Filtering Multilayer Shadow Maps for Accurate Soft Shadows



Grundidee

- ▶ Schatten eines opaken Objekts von einer Flächenlichtquelle...
- ▶ ... lässt sich durch „weichgezeichnete“ Geometrie und eine Punktlichtquelle nachbilden

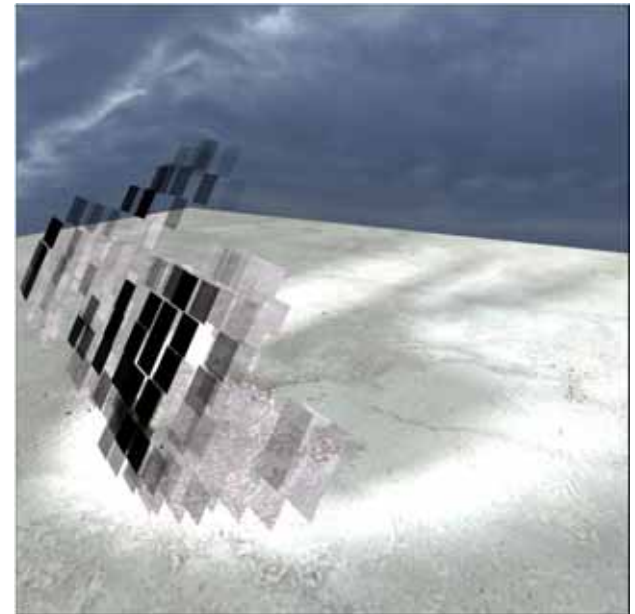
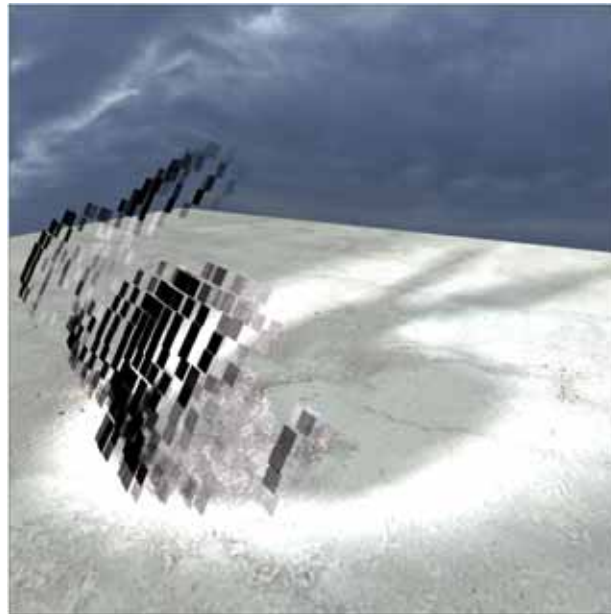


Filtering Multilayer Shadow Maps for Accurate Soft Shadows



Grundidee

- ▶ Schatten eines opaken Objekts von einer Flächenlichtquelle...
- ▶ ... lässt sich durch „weichgezeichnete“ Geometrie und eine Punktlichtquelle nachbilden

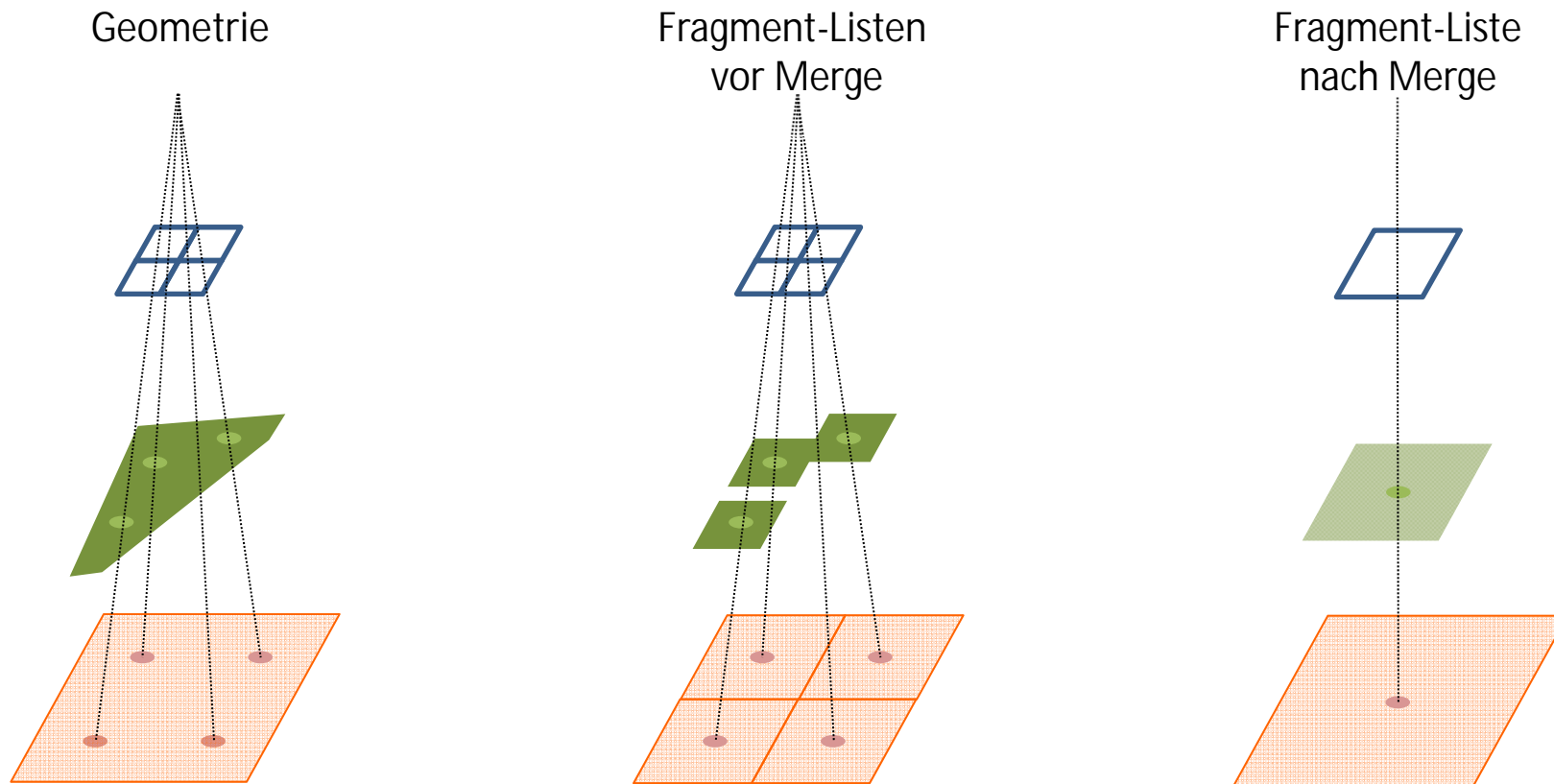


Filtering Multilayer Shadow Maps for Accurate Soft Shadows



Grundidee

- ▶ „Multilayer Shadow Map“ speichert alle Flächen pro Pixel
- ▶ Filterung der Shadow Map durch Zusammenfassen von Fragmenten mit ähnlicher Tiefe (ergibt u.U. semitransparente Fragmente)
- ▶ berechne damit eine Mip-Map-Pyramide

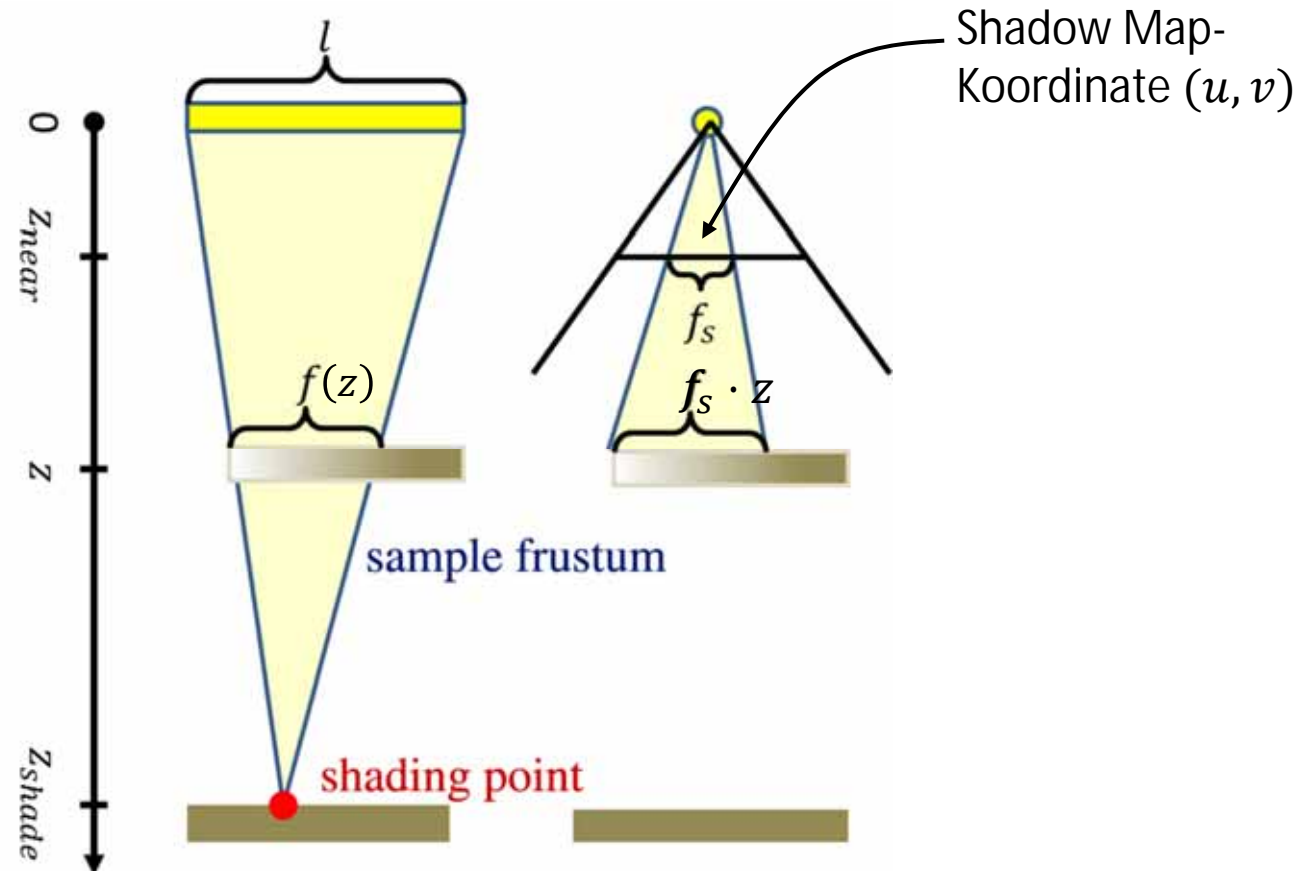


Filtering Multilayer Shadow Maps for Accurate Soft Shadows



Grundidee: Lookup

- ▶ wie groß ist der Bereich (abhängig vom Abstand zu einem Oberflächenpunkt) in dem Geometrie verschatten könnte? $\rightarrow f(z)$
- ▶ $f(z)$ projiziert in die Shadow Map \rightarrow Filtergröße $f_s(z)$



Voxelisierung



- ▶ bisher hatten wir den Fall betrachtet, dass es eine oder wenige Lichtquellen gibt, mit der wir beleuchten und Schatten berechnen
 - ▶ im Prinzip bestimmen wir die Sichtbarkeit von einem/wenigen Punkten zu vielen Punkten
 - ▶ benötigen wir die Sichtbarkeit von vielen zu vielen Punkten, dann sind andere „globalere“ Datenstrukturen u.U. besser geeignet
 - ▶ eine Möglichkeit: „Voxelisierung“ der Szene, d.h. Repräsentation durch ein reguläres Gitter → effiziente Verfahren dazu existieren
 - ▶ Sichtbarkeitsberechnung durch Ray Marching

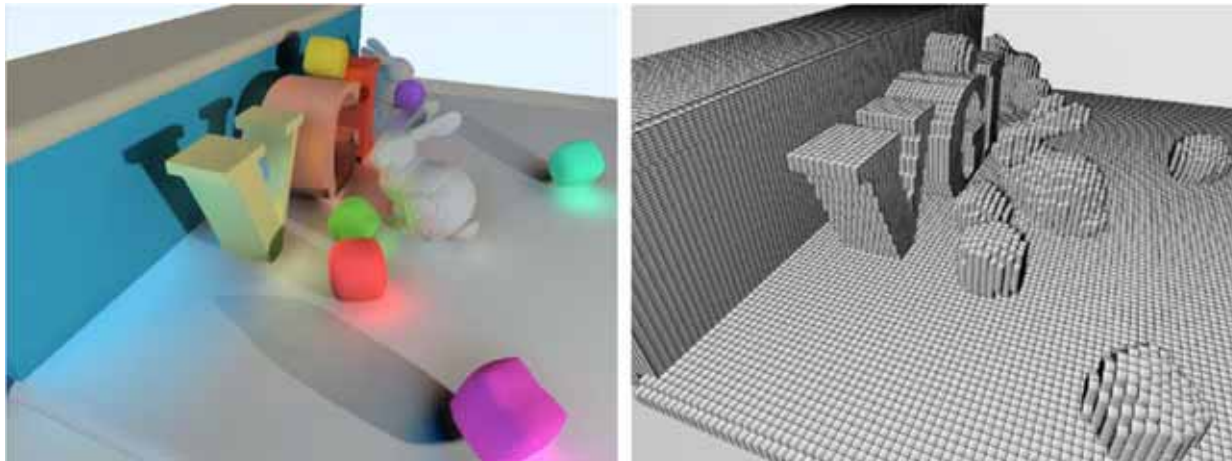


Bild: Sinje Thiedemann et al. „Voxel Global Illumination“

Voxelisierung

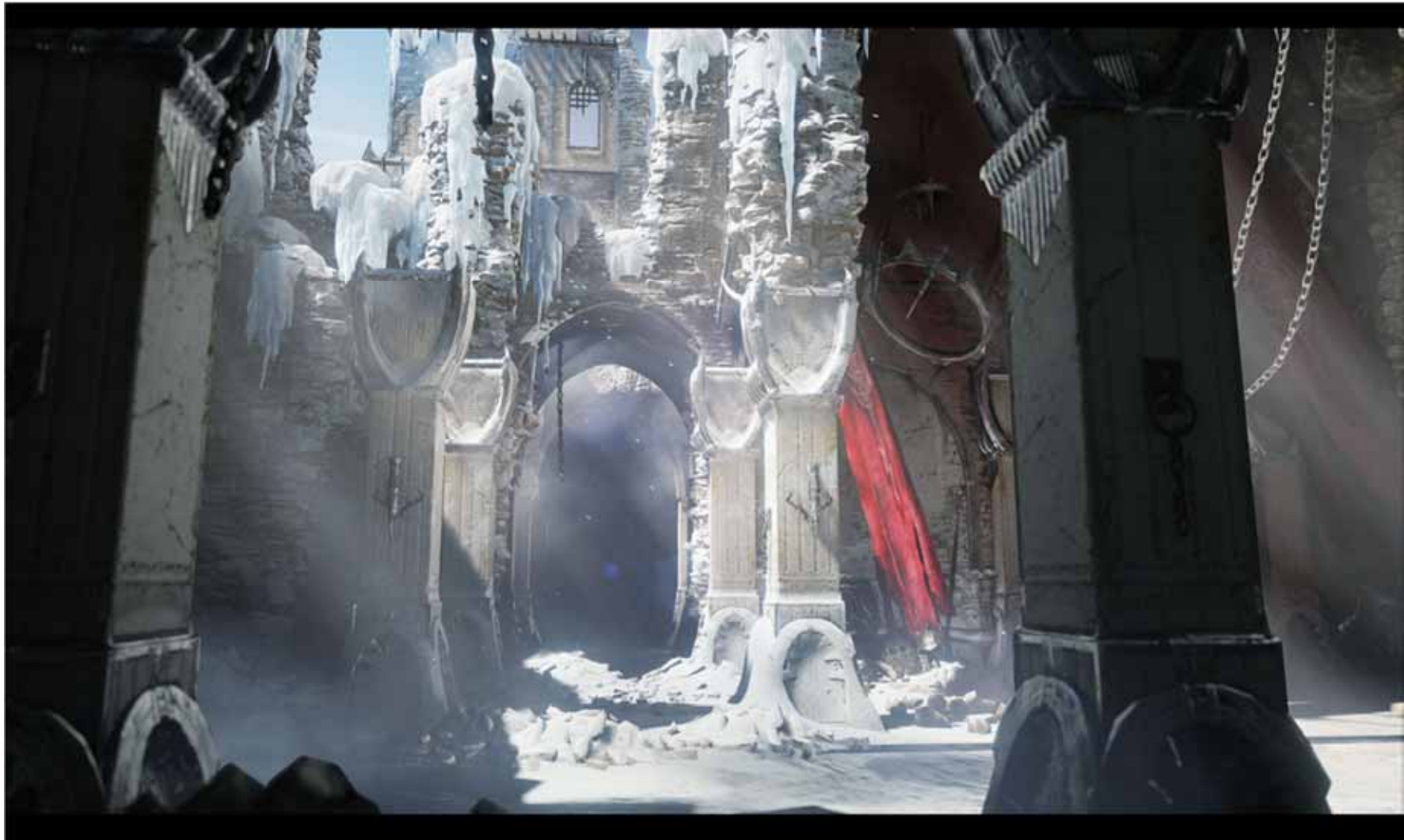


- ▶ Voxelisierung als Beschleunigungsstruktur ermöglicht auch globale Beleuchtung mittels Ray Marching



Beispiel: **Real-time global illumination with voxel-based cone tracing**
Crassin et. al, Pacific Graphics 2011

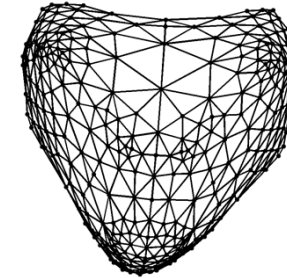
Voxelisierung



Beispiel: Real-time voxel cone tracing in Unreal Engine 4

Motivation

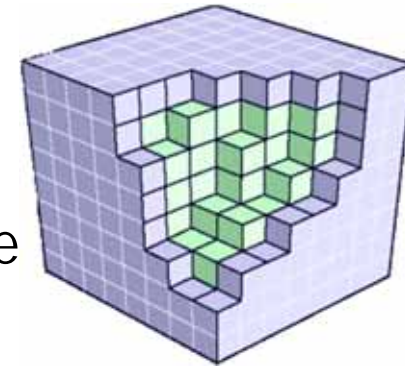
- ▶ Objekte in CG meist Oberflächenmodelle (boundary representations)
 - ▶ Primitive: Dreiecke, parametrische Flächen
 - ▶ bietet sich an: die meiste Interaktion mit dem Licht findet an den Flächen statt



Origami Teapot, Tomoro Tachi, Japan 2006
gefaltet aus einem quadratischen Papierbogen

Motivation

- ▶ Volumen-Repräsentationen
 - ▶ Primitive: Voxel (volumetric pixels), Zellen
 - ▶ Gitterauflösung wird festgelegt, der Aufwand ist dann unabhängig von der Komplexität der Eingabe
 - ▶ volumetrische Darstellungen sind u.a. für Transluzenz, physikalische Simulation etc. wichtig

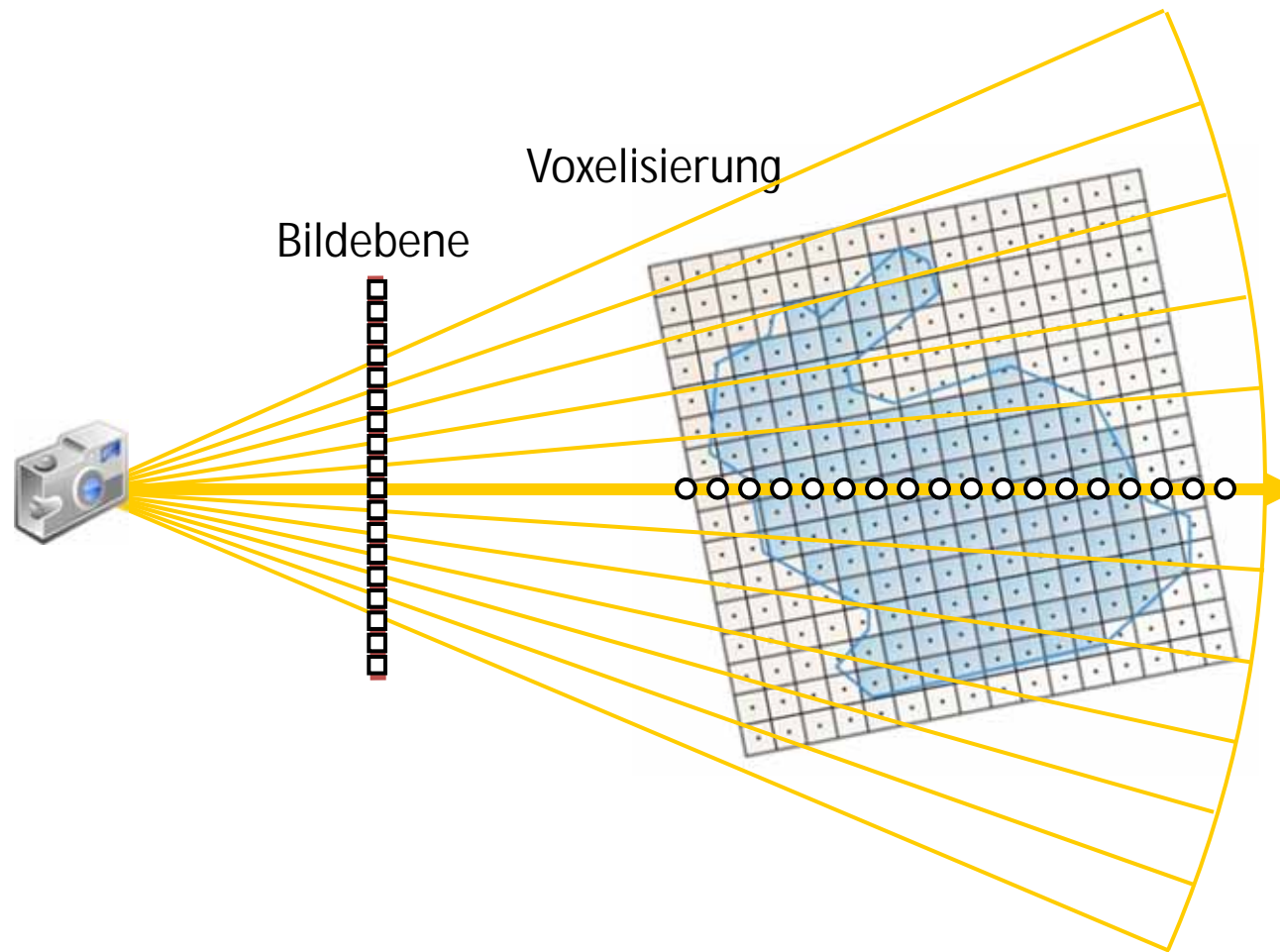


Voxelisierung: Konzepte



Rendering (und Schatten- bzw. Sekundärstrahlen) mit Raymarching

- ▶ Filterung durch Mipmapping möglich („Voxel Cone Tracing“)



Noch mehr Beispiele...

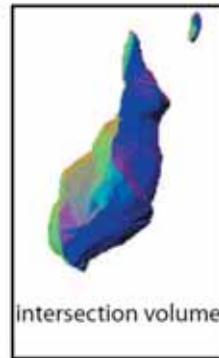
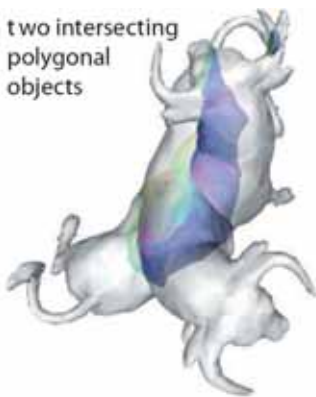


[Crane et al. 2007]



[Crassin et al. 2011]

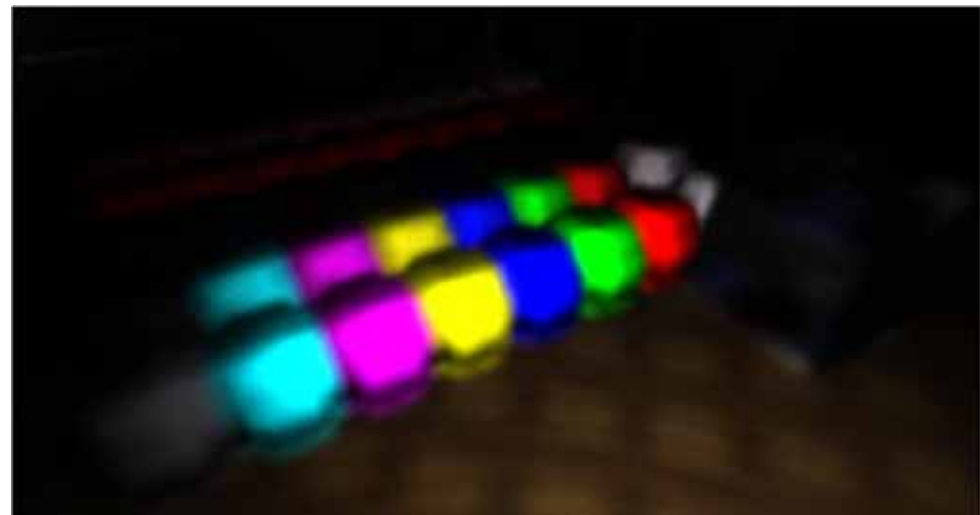
two intersecting polygonal objects



[Eisemann and Decoret, 2008]

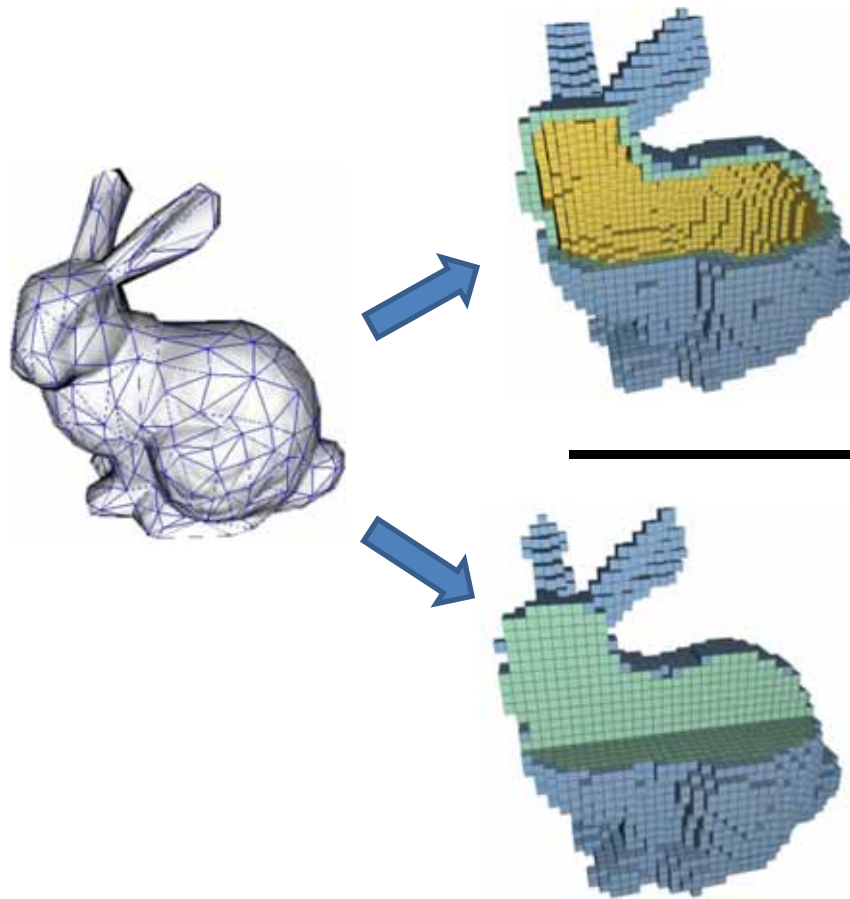


Voxelisierung in der Unreal Engine

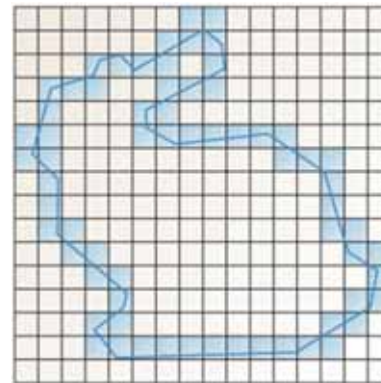


Bilder: The Technology Behind the "Unreal Engine 4 Elemental demo", SIGGRAPH'12

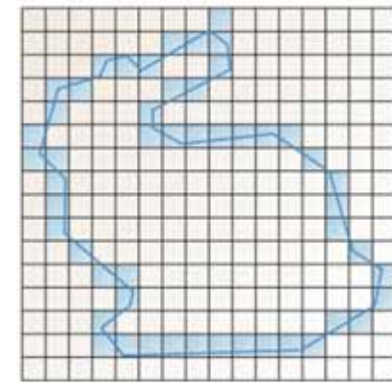
Voxelisierung: Konzepte



Surface Voxelization

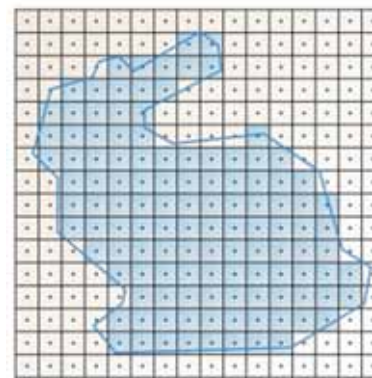


conservative



6-separating

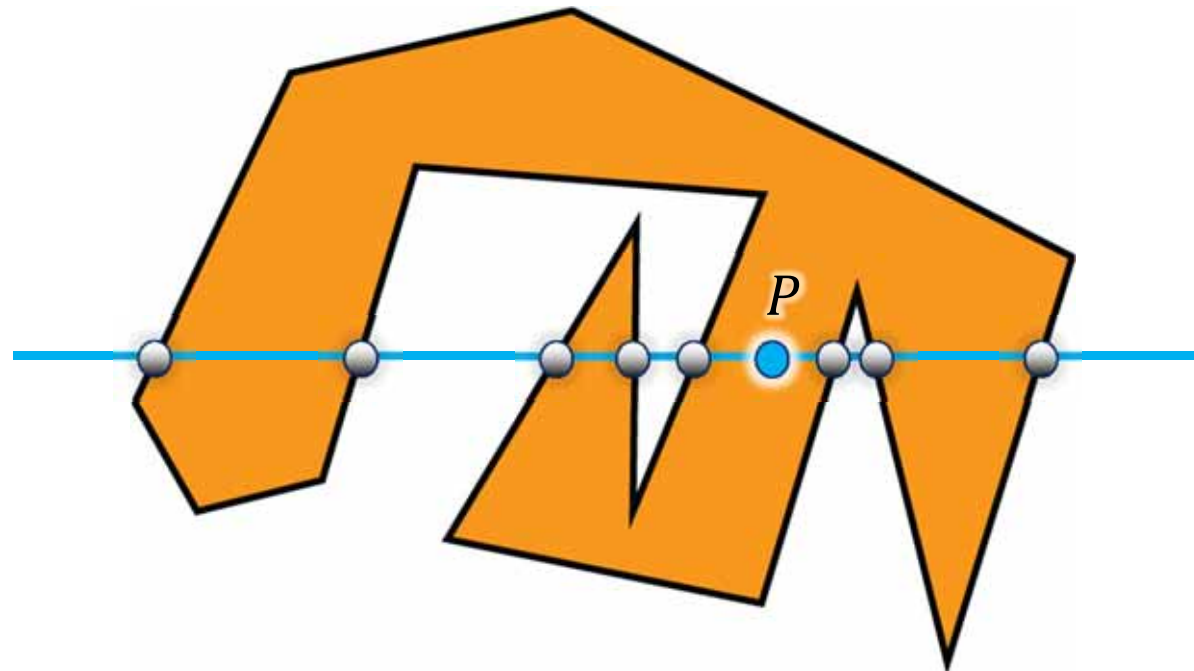
Solid Voxelization



Stencil-Based Solid Voxelization



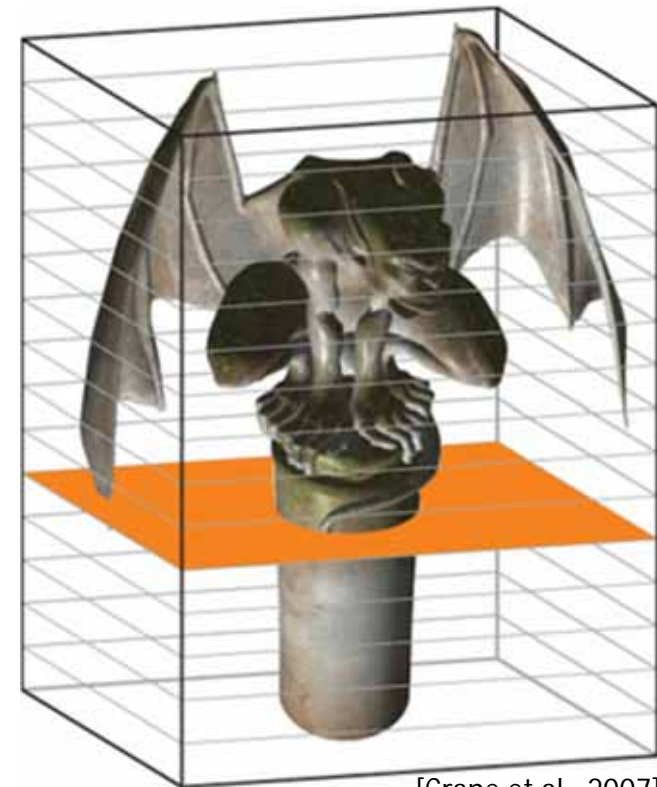
- ▶ solide Voxelisierung bedeutet: feststellen, ob ein Voxel (bzw. sein Mittelpunkt) im Inneren eines geschlossenen Dreiecksnetzes liegt
- ▶ Lösung: der Odd-Even-Test
 - ▶ wenn der Punkt im Inneren liegt, dann haben alle Strahlen von dort ausgehend eine ungerade Anzahl Schnitte mit der Oberfläche
 - ▶ ähnlich wie Schattenvolumen → zähle Schnitte mit dem Stencil Buffer



Stencil-Based Solid Voxelization

Voxelisieren einer 2D-Schicht

- ▶ zeichne mit einer orthographischen Kamera und clippe das Objekt an einem Halbraum (z.B. schneide alles oberhalb der orangenen Ebene ab)
- ▶ setze alle Stencil Buffer Werte auf 0
- ▶ zeichne das Objekt
 - ▶ Vorderseiten erhöhen, Rückseiten erniedrigen den Stencil Buffer Wert
- ▶ jeder Voxel im Inneren hat einen Wert $\neq 0$



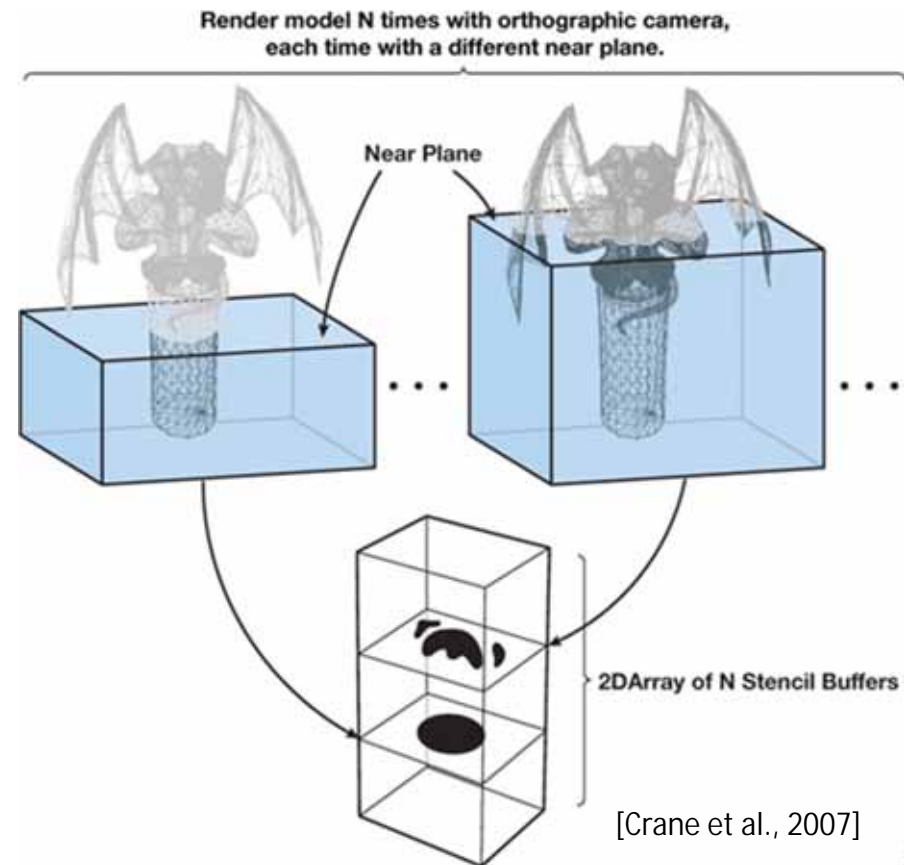
[Crane et al., 2007]

Stencil-Based Solid Voxelization

Voxelisieren des 3D-Volumens

- ▶ führe die Methode für jede Schicht (insg. N-mal) durch
- ▶ das Volumen kann gespeichert werden als
 - ▶ 3D Textur (eine Schicht in z-Richtung als Rendertarget)
 - ▶ Schichten nebeneinander in einer 2D-Textur

- ▶ einfache und robuste Methode
- ▶ aber nicht sehr effizient: N-mal Zeichnen für Volumen mit Tiefe N



OpenGL Implementation (Prinzip)



▶ Rendering Setup:

aktiviere Stencil Test, deaktiviere Schreiben in Farb- und Tiefen-Puffer

```
glColorMask(GL_FALSE, GL_FALSE, GL_FALSE, GL_FALSE);
glDepthMask(GL_FALSE);
glDisable(GL_DEPTH_TEST);

glEnable(GL_STENCIL_TEST);
glClearStencil(0x0);           // Stencil Clear Value
glClear(GL_STENCIL_BUFFER_BIT); // lösche Stencil Buffer
```

▶ Inkrementiere/dekrementiere Stencil für Vorder- bzw. Rückseiten

```
glStencilFunc(GL_ALWAYS, 1, 0xffffffff); // Stencil Operation immer ausführen

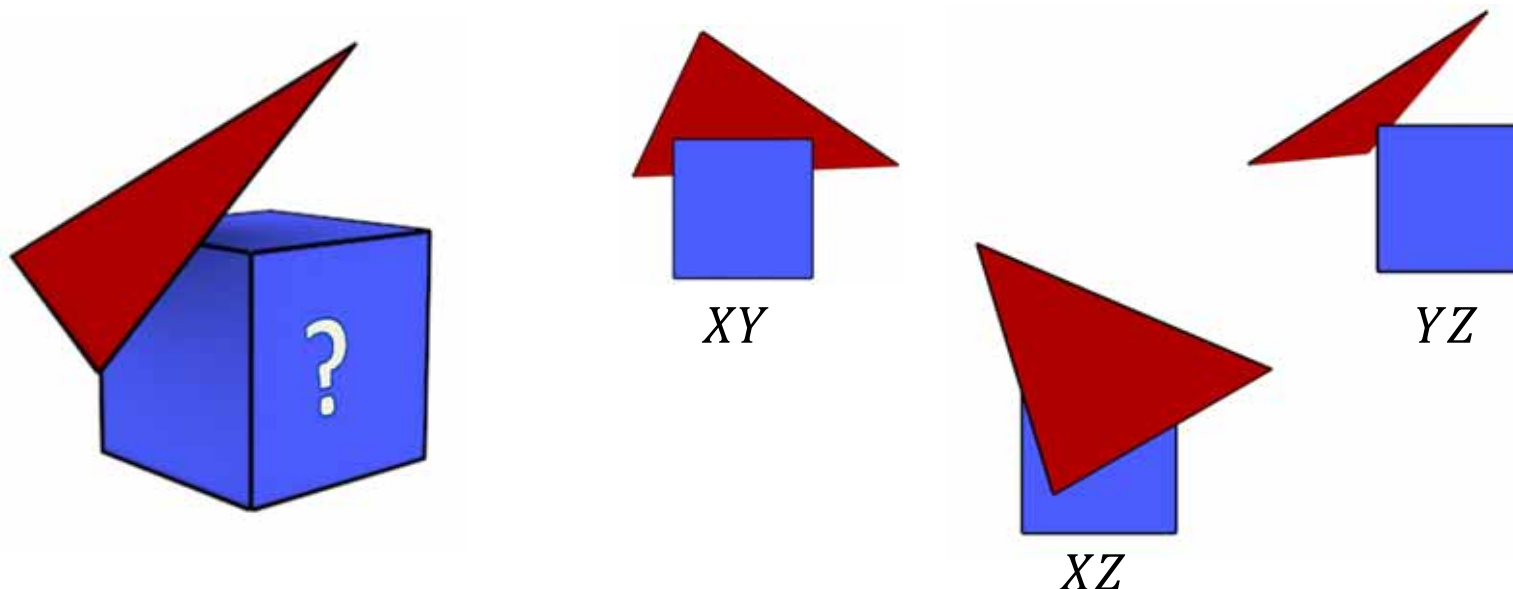
glFrontFace(GL_CCW);
glDisable(GL_CULL_FACE);

// zwei-seitige Stencil-Operation
glStencilOpSeparate(GL_FRONT, GL_KEEP, GL_KEEP, GL_INCR);
glStencilOpSeparate(GL_BACK, GL_KEEP, GL_KEEP, GL_DECR);
```

Konservative Oberflächen-Voxelisierung



- ▶ **Grundidee:** teste, ob ein Voxel von der Oberfläche geschnitten wird
- ▶ Lösung: **Box-Triangle Schnitttest** (teste jeden Voxel gegen jedes Dreieck)
 - ▶ wir benötigen nicht die Schnittpunkte selbst (teuer zu berechnen)
 - ▶ ein Dreieck **T** und ein (axis-aligned) Quader **B** überlappen gdw.
 - a) die Ebene in der **T** liegt sich mit **B** überlappt (liegt also mind. ein Eckpunkt vor und mind. einer hinter der Ebene) und
 - b) wenn sich die 2D-Projektionen von **T** und **B** in jeder Koordinatenebene (XY , YZ , XZ) überlappen



Konservative Oberflächen-Voxelisierung



Schnitttest Ebene-Quader

- ▶ geg. Ebene mit Punkt \mathbf{q} und Normale \mathbf{n} , und
- ▶ Quader durch
 - ▶ minimale und maximale Koordinaten \mathbf{p}_{min} und $\mathbf{p}_{max} = \mathbf{p}_{min} + \Delta\mathbf{p}$
 - ▶ oder seine Eckpunkte $\mathbf{c}_i, i = 0..7$

- ▶ Quader-Ebenen-Schnitt
 - ▶ es existiert ein Schnitt, wenn für zwei Ecken des Quaders \mathbf{c}_i und \mathbf{c}_j sich die Vorzeichen der impliziten Ebenengleichung unterscheiden:

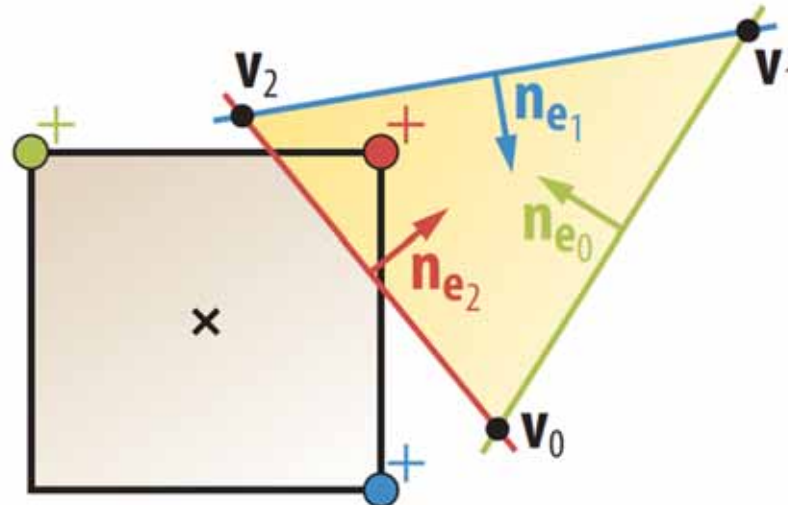
$$\langle \mathbf{n}, \mathbf{q} - \mathbf{c}_i \rangle \langle \mathbf{n}, \mathbf{q} - \mathbf{c}_j \rangle \leq 0$$

Konservative Oberflächen-Voxelisierung



2D-Rechteck-Dreieck-Schnitt (für 2D-Projektionen von T und B)

- ▶ verwende Kantengleichungen (vgl. Rasterisierung) um festzustellen, ob ein Punkt innerhalb des Dreiecks liegt
- ▶ wenn alle 3 Tests für einen (oder mehrere) Eckpunkt(e) des Rechtecks positiv sind, existiert ein Schnitt
- ▶ weiterer Test: liegen v_0 , v_1 und v_2 im Innern des Rechtecks

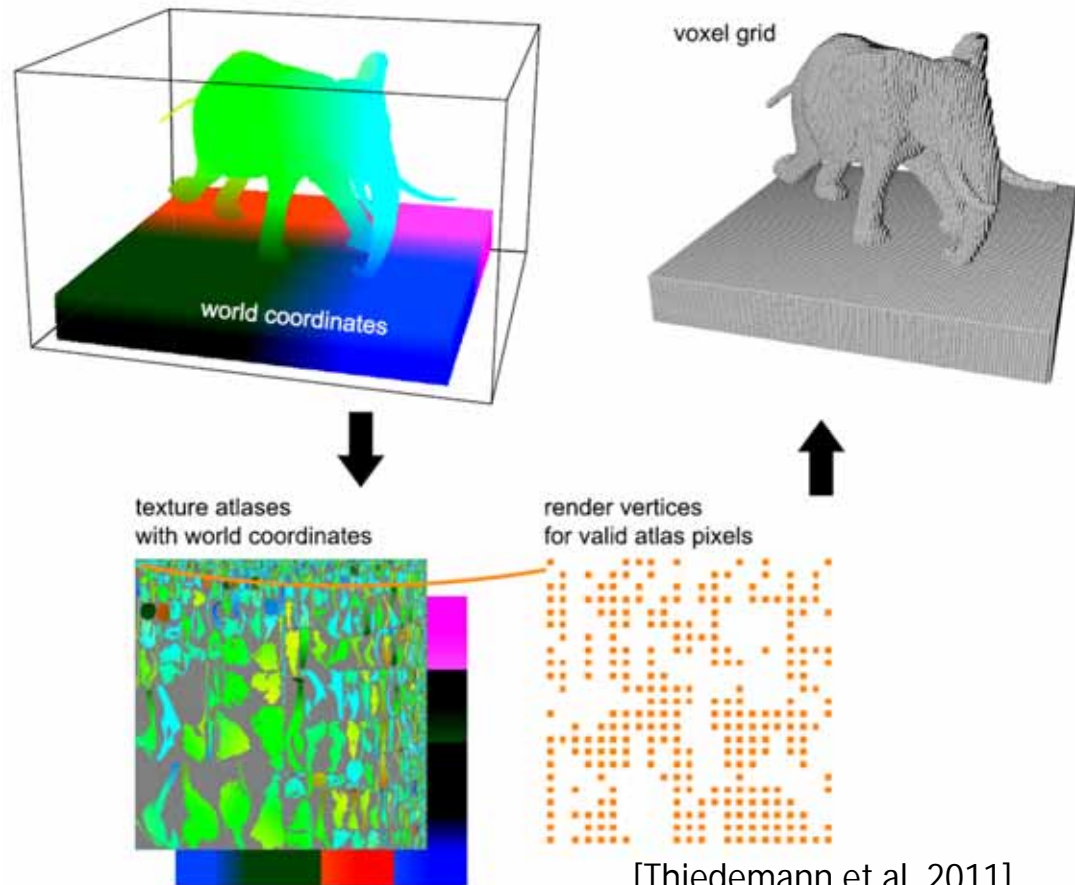


- ▶ Achtung: es müssen immer alle 2D-Projektionen betrachtet werden

Atlas-basierte Oberflächenvoxelisierung



- ▶ ein einfacher Ansatz mit herkömmlicher Rasterisierung
- ▶ Idee: wenn es für eine Szene einen Texturatlas gibt, können wir für jeden (belegten) Texel die Oberflächenposition bestimmen und ihn als Punktprimitiv in ein 3D-Volumen (bzw. die Schichten) zeichnen
- ▶ mögliche Probleme
 - ▶ Projektion von Texturraum in Weltkoordinaten ist i.A. nicht uniform, daher können Löcher in der voxelisierten Fläche auftreten
 - ▶ verstärkt bei animierten Objekten



Binäre Oberflächenvoxelisierung



- ▶ bisher speichern wir für eine Voxelzelle nur ob sie belegt ist
 - ▶ diese „binäre Voxelisierung“ ist für Schattentests ausreichend
 - ▶ für globale Beleuchtung speichert man i.d.R. noch Farbe, Normale etc.
 - ▶ mit den bisherigen Techniken machbar
- ▶ direkte **binäre Voxelisierung** (Fast Scene Voxelization and Applications, Eisemann und Décoret, 2006)
 - ▶ Idee: ein Integer kann Belegung eines Voxels in jedem Bit speichern
 - ▶ zeichne Objekte in einen Integer-Framebuffer (z.B. ein 32-Bit Wert)
 - ▶ bei der Rasterisierung bildet ein Fragment Programm die Tiefe des Fragments auf einen Integer-Wert ab: gesetztes Bit entspricht diskretisierter Tiefe
 - ▶ verwende Bit-Operationen für Aktualisierung der Voxelisierung (unterstützt durch OpenGL und ab DirectX 11.1)

```
glEnable(GL_COLOR_LOGIC_OP);  
glLogicOp(GL_OR);
```